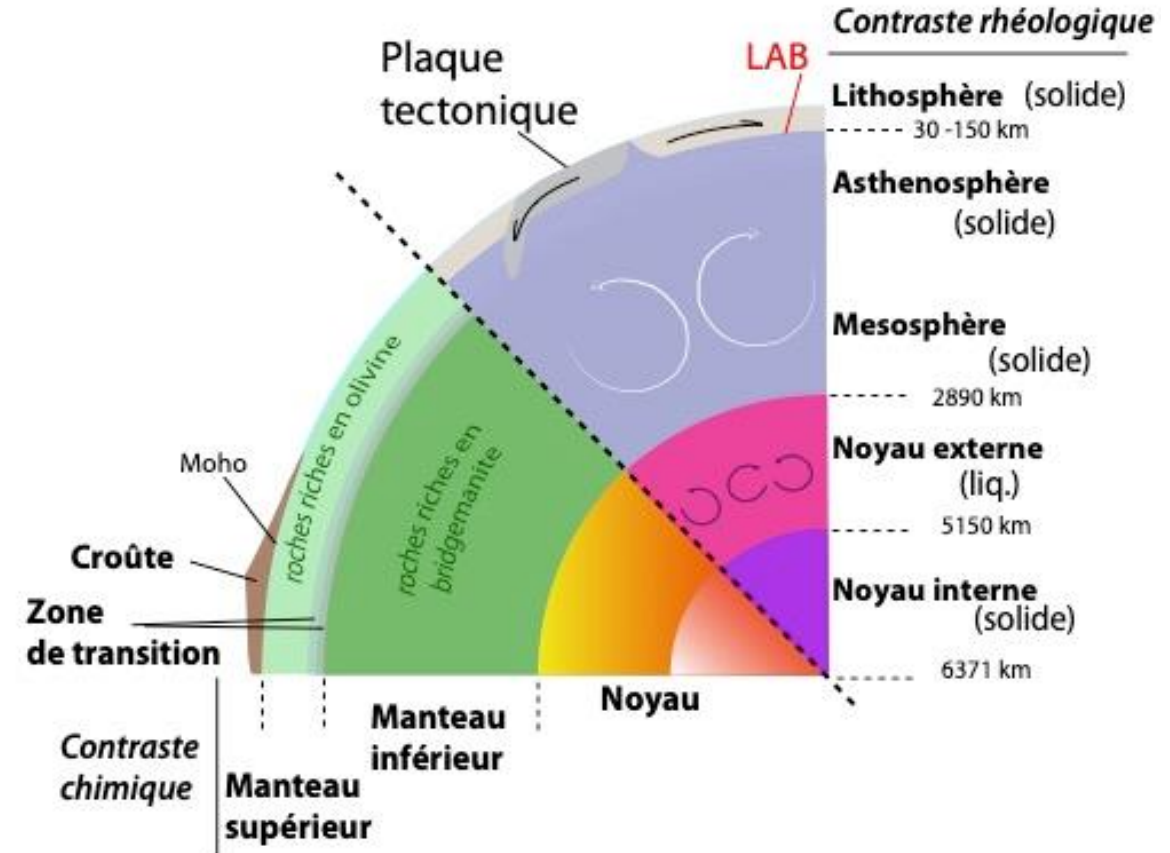
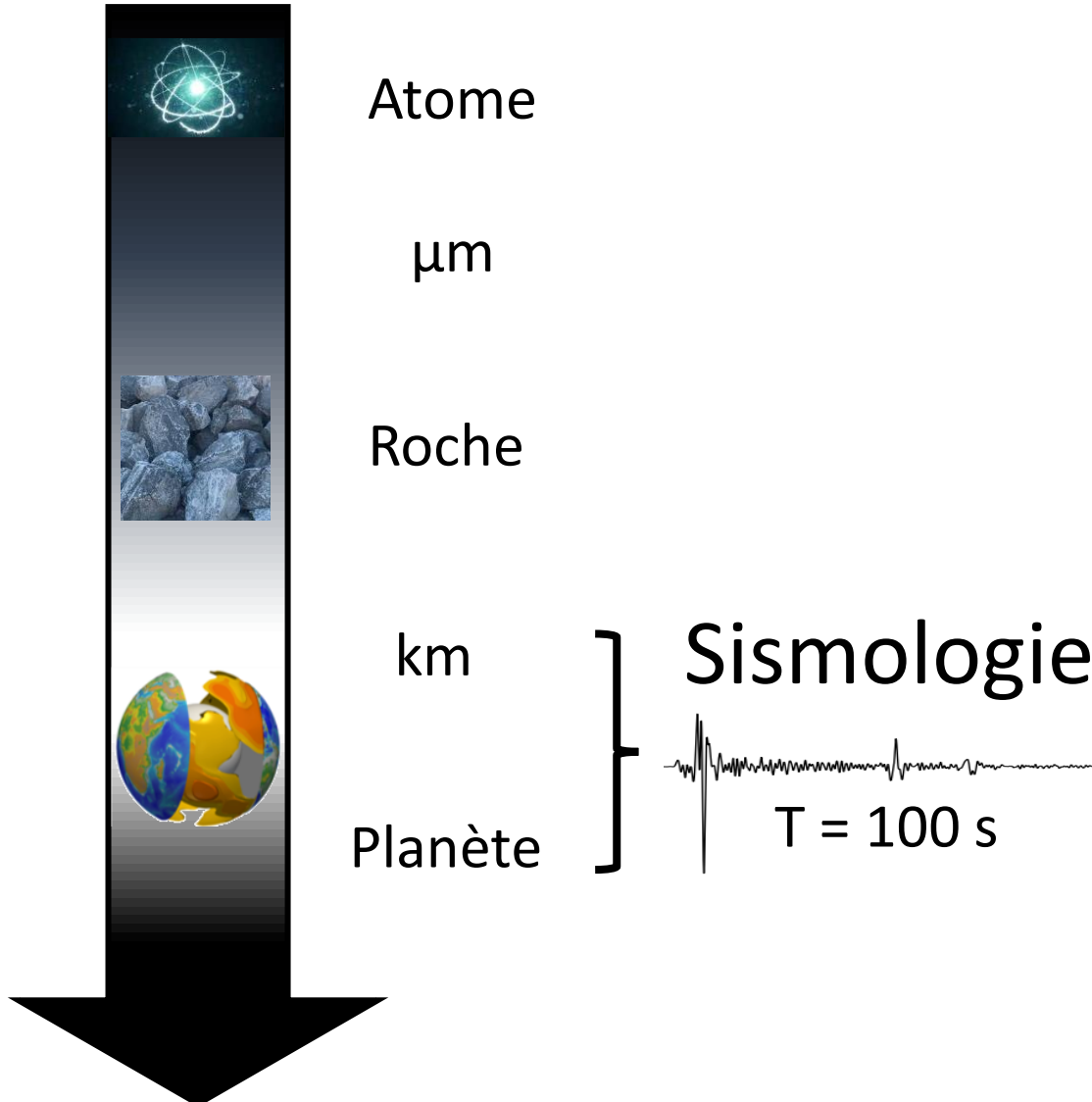
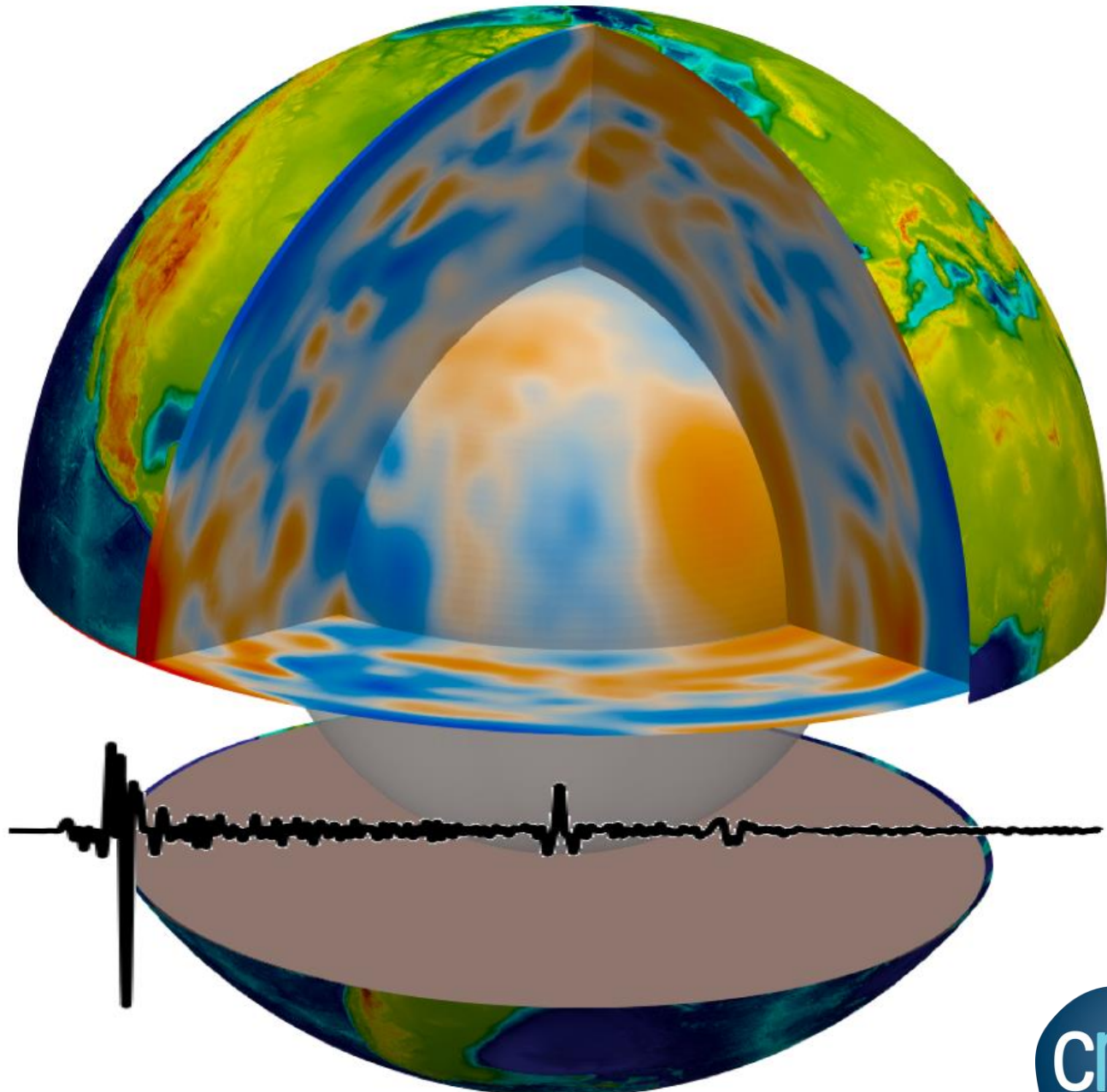


L'impossible voyage au centre de la Terre



Courtesy of S. Demouchy



Tomographie globale: Pourquoi ? Comment ? Quoi de neuf ?



Stéphanie Durand
Sismologue



UNIVERSITÉ
JEAN MONNET
SAINT-ÉTIENNE

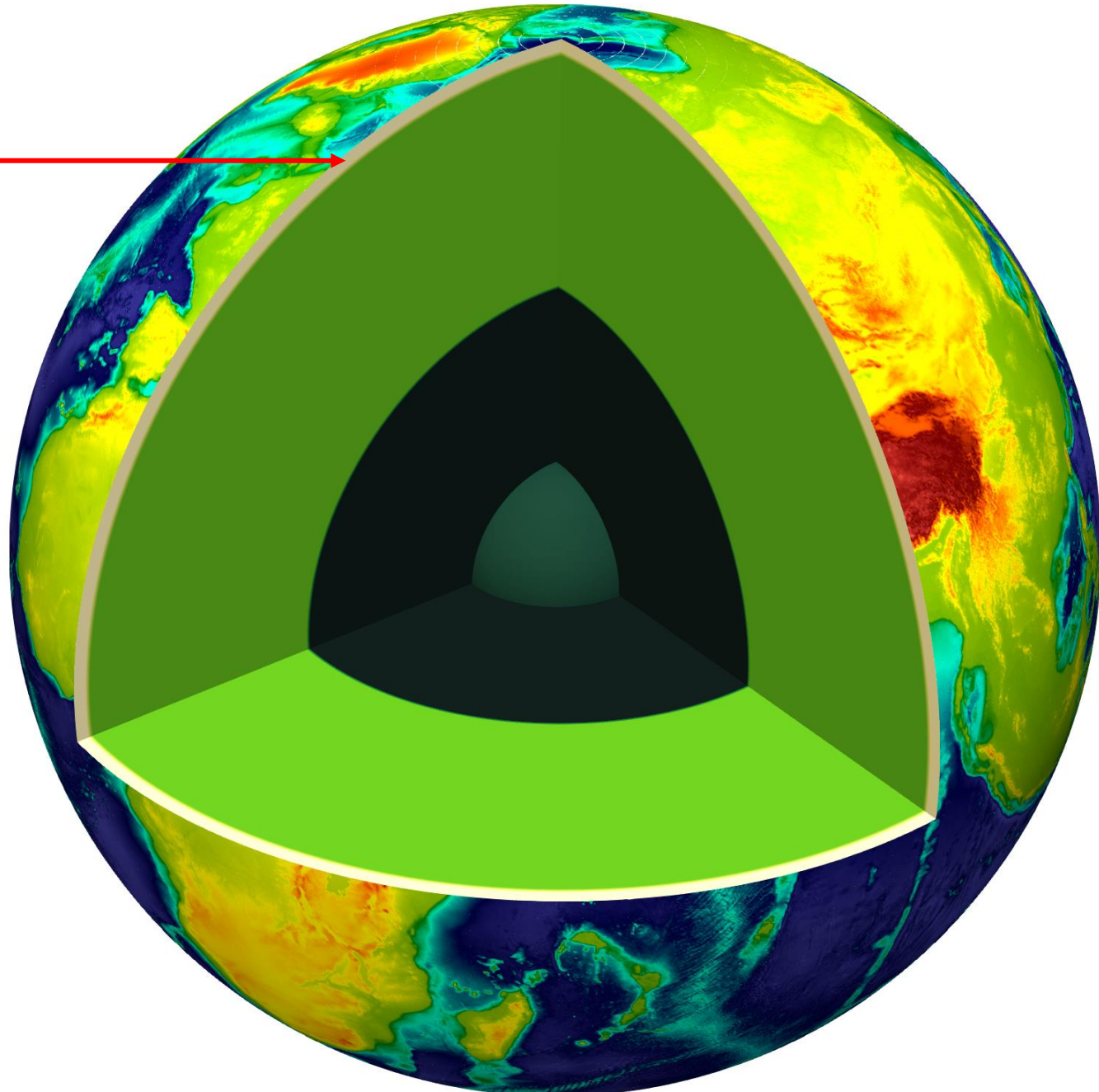


Laboratoire de Géologie de Lyon
Terre planètes Environnement

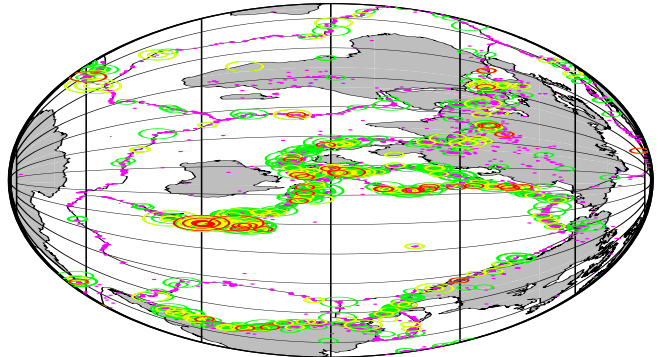


Forage Kola
1970 - 1992
Profondeur max 12,262 km

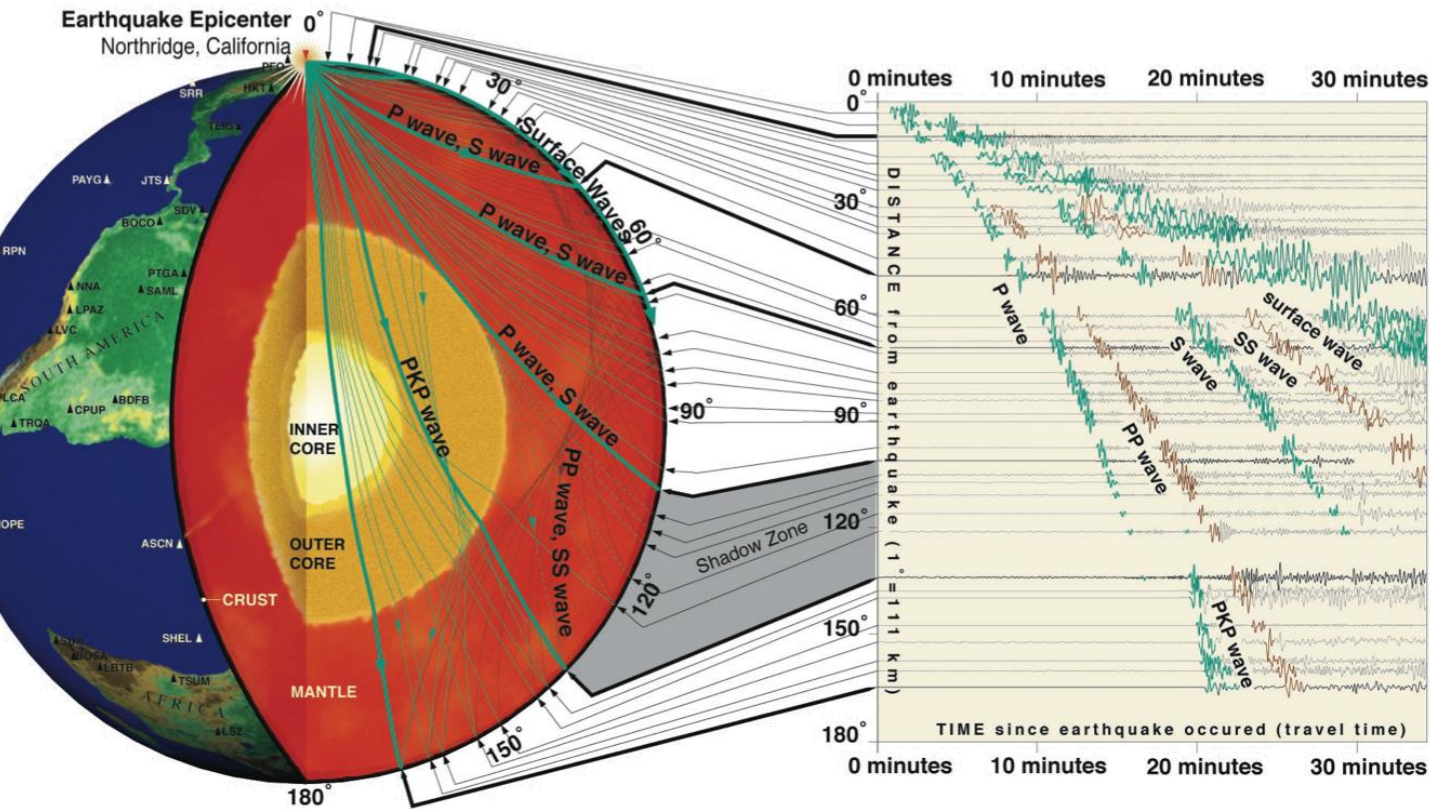
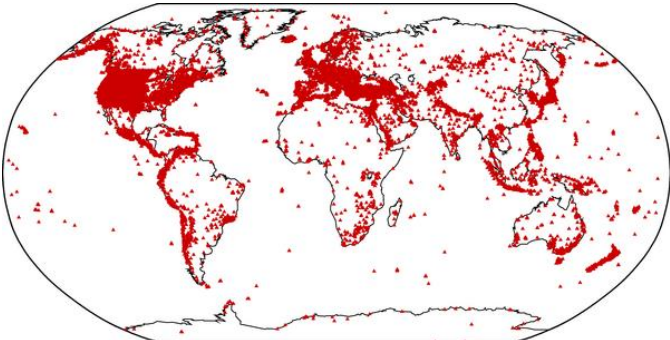
Croûte



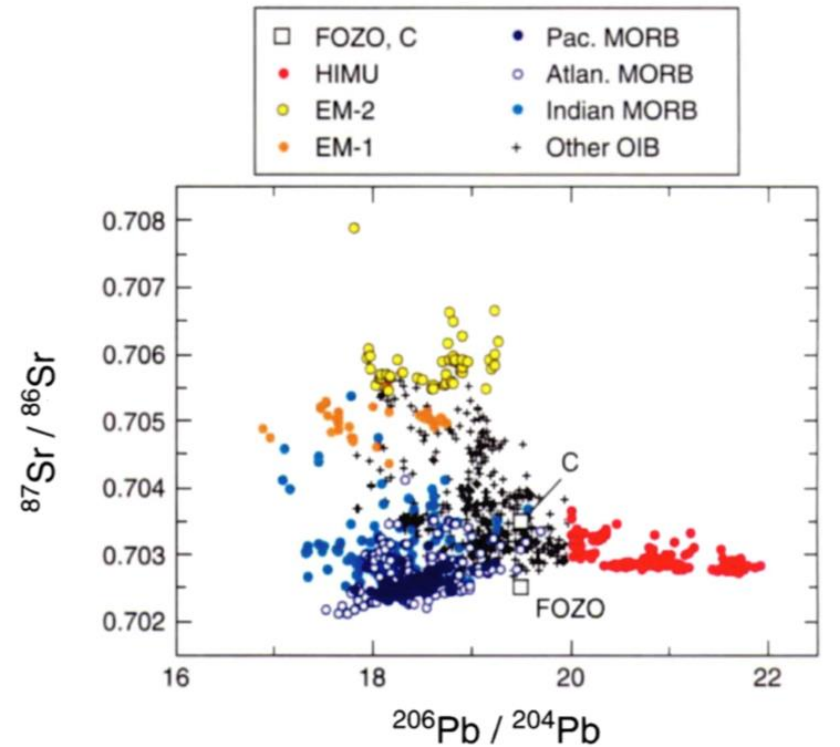
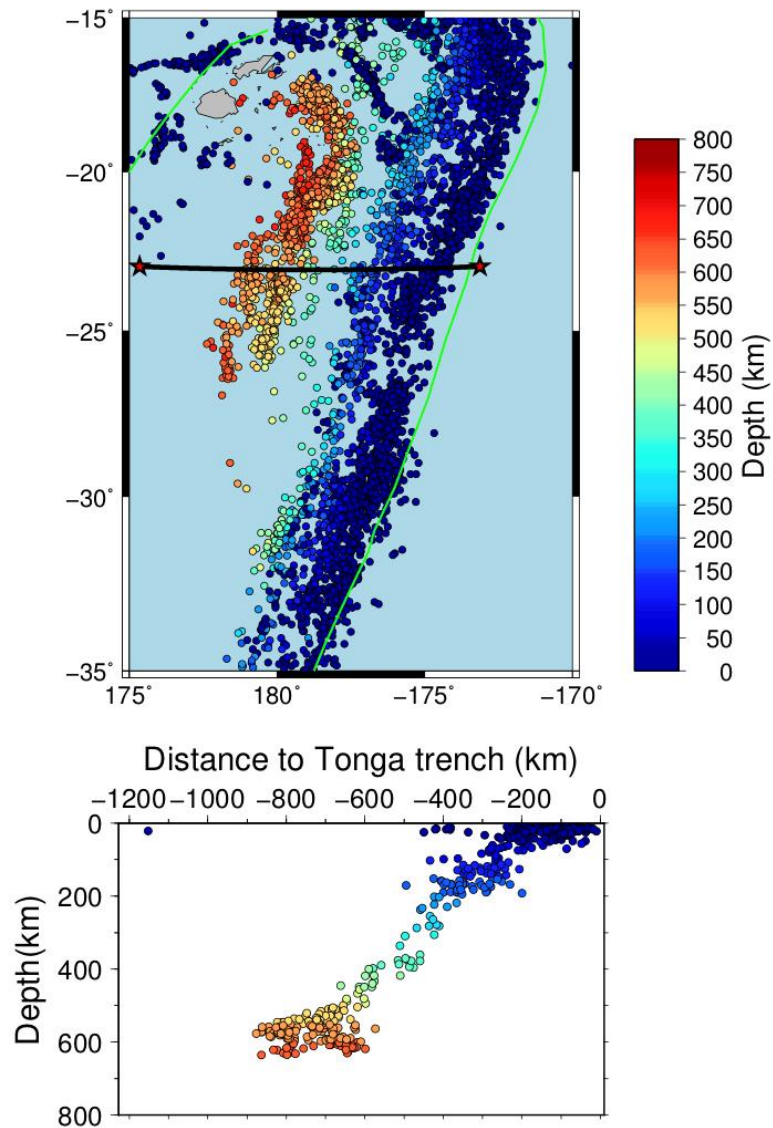
Tremblements de terre



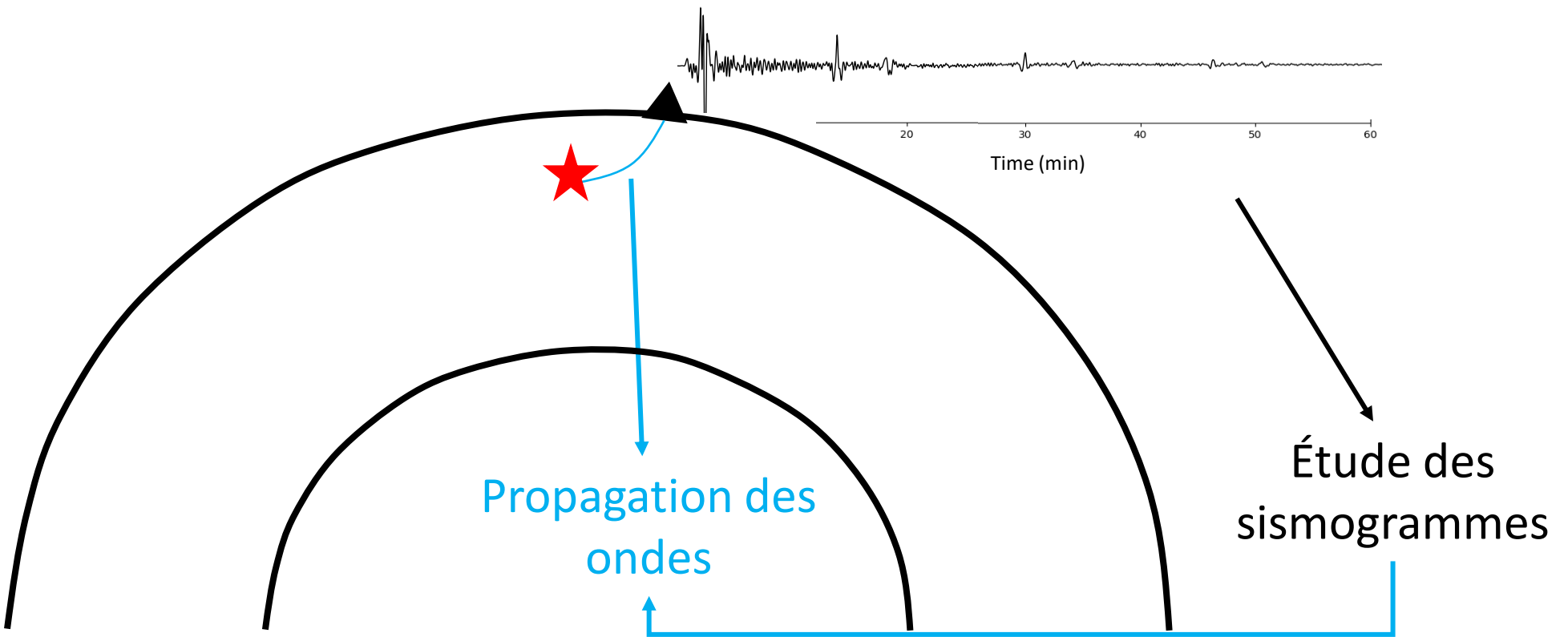
Stations sismiques



Hétérogénéités latérales



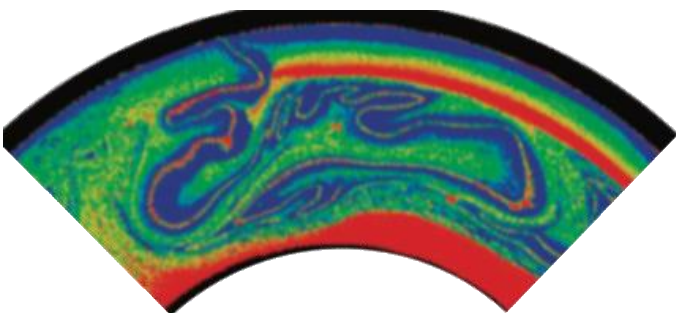
Hofmann [1997]





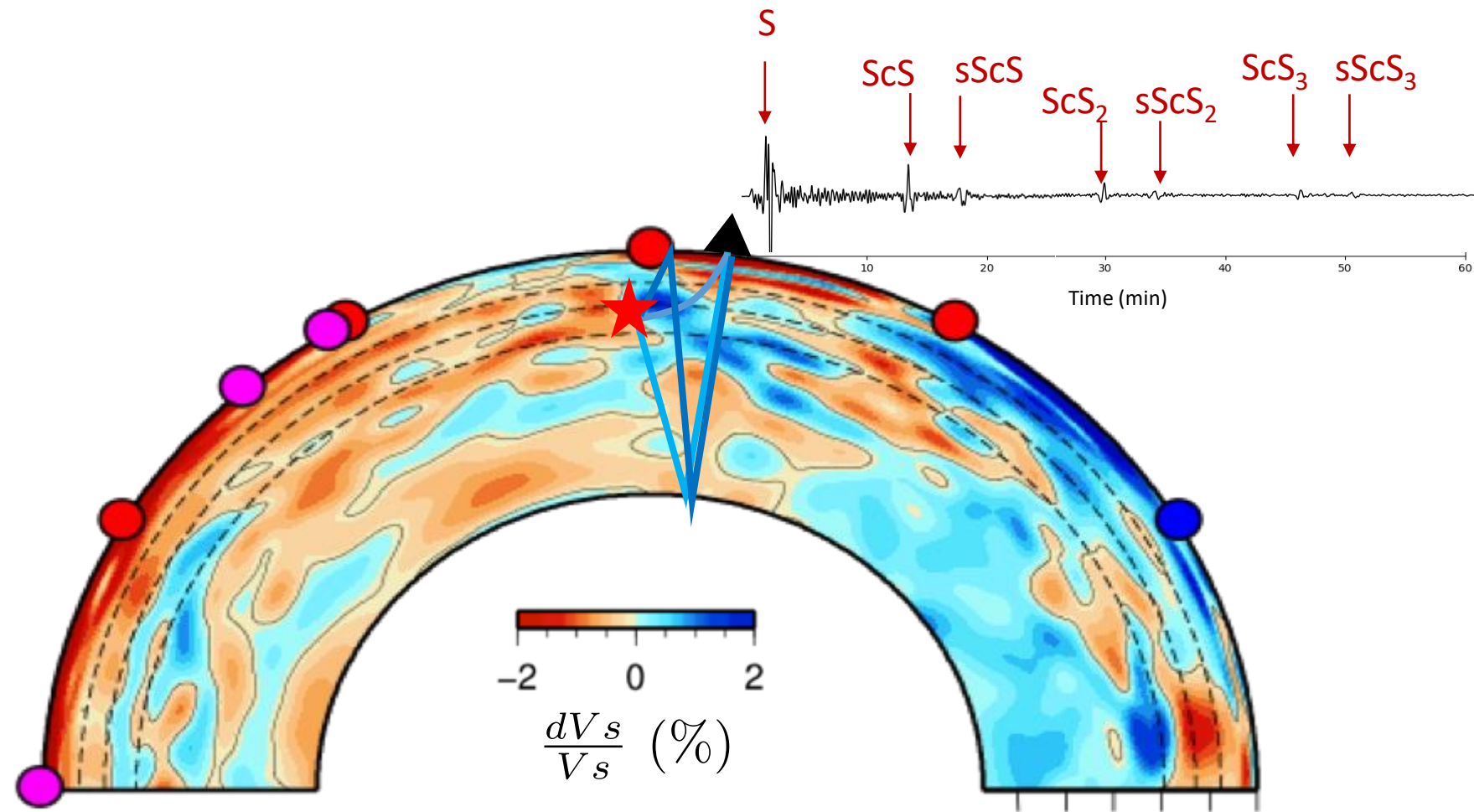
Michel-Ange [XVI]

Objectif : révéler par le dessin la complexité du drapé, les différentes échelles, amplitudes, les ombres et la texture
Quand c'est bien fait on arrive même à suggérer la structure qui est cachée !



Ballmer et al. [2015]

Même objectif en tomographie sismique.



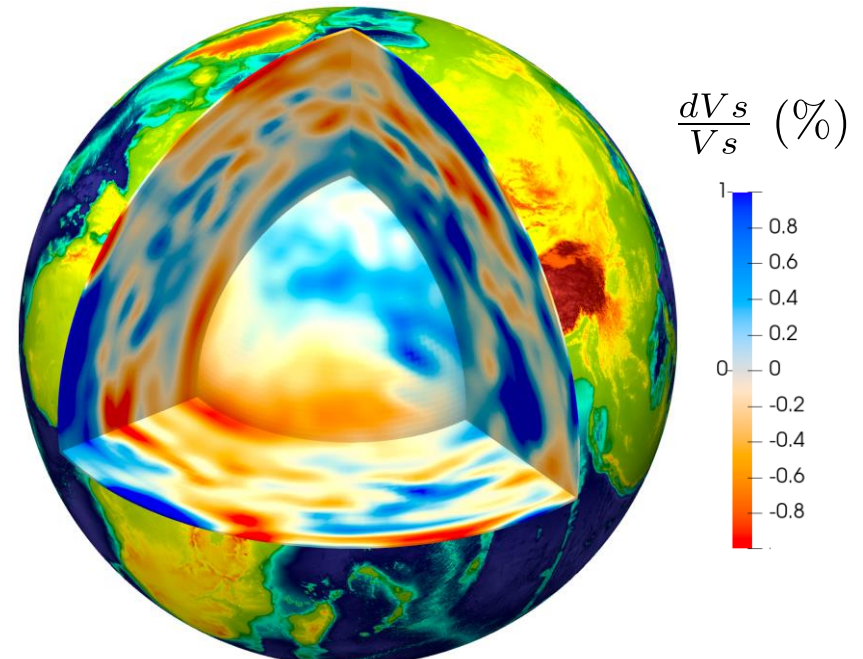
Hétérogénéités latérales

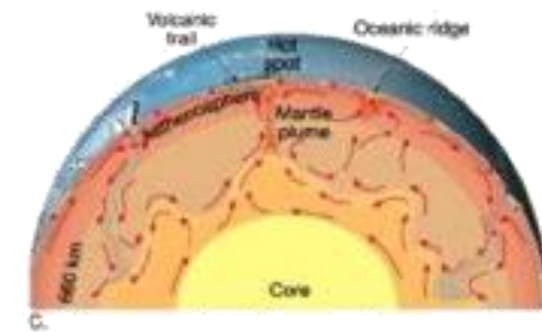
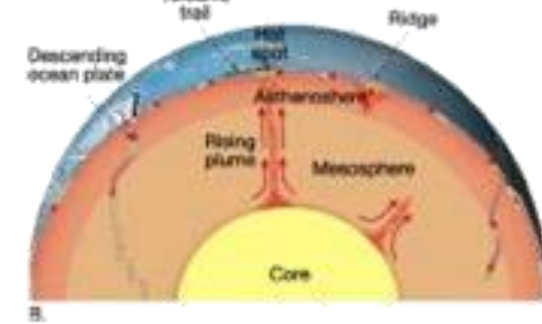
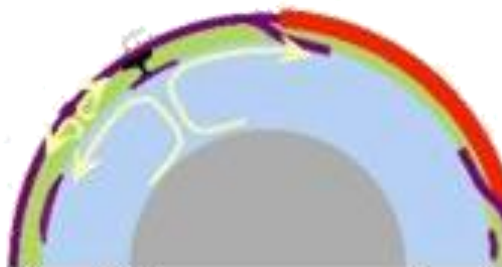
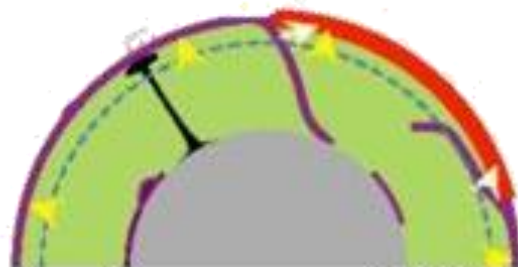
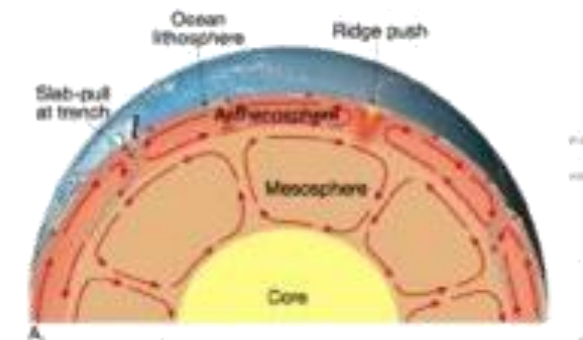
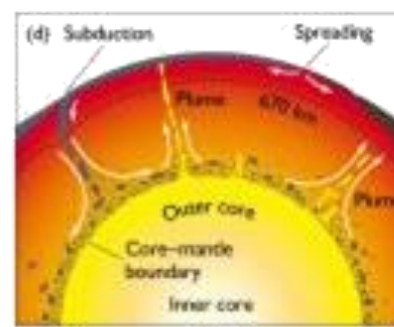
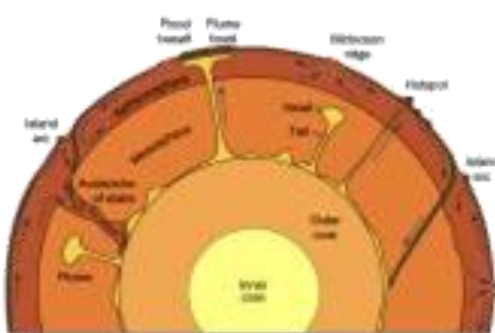
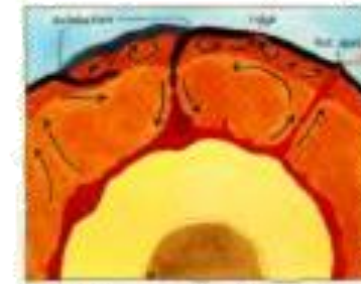
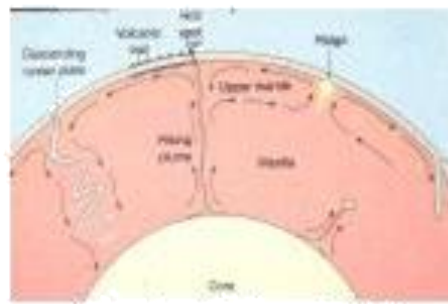
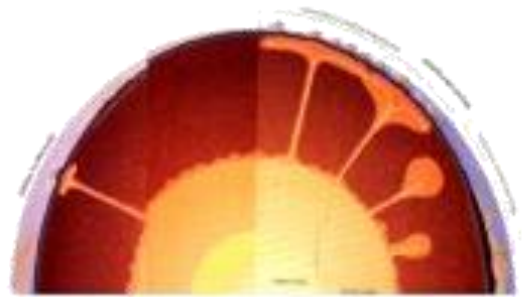
$$V_p = \sqrt{\frac{\kappa + 4/3\mu}{\rho}}$$

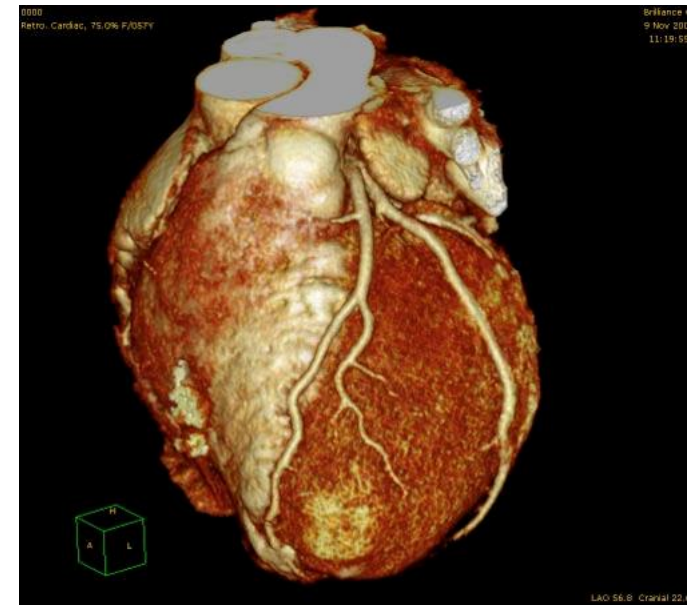
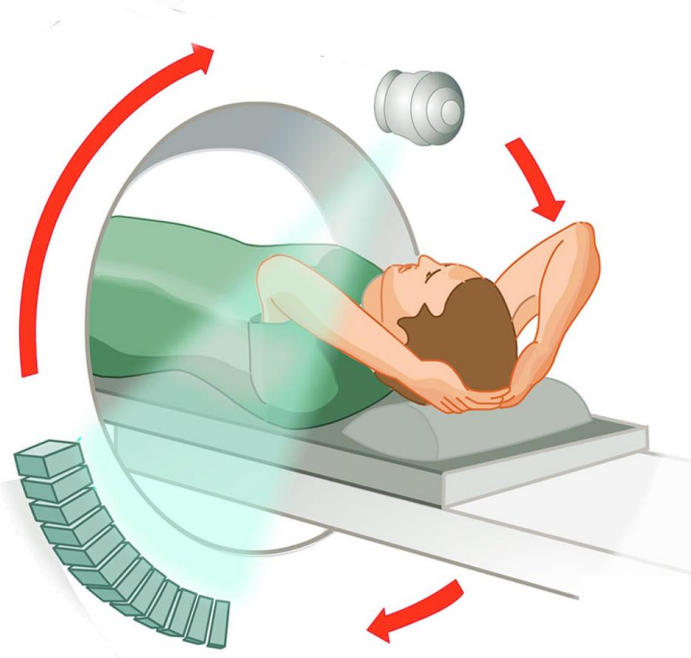
$$V_s = \sqrt{\frac{\mu}{\rho}}$$

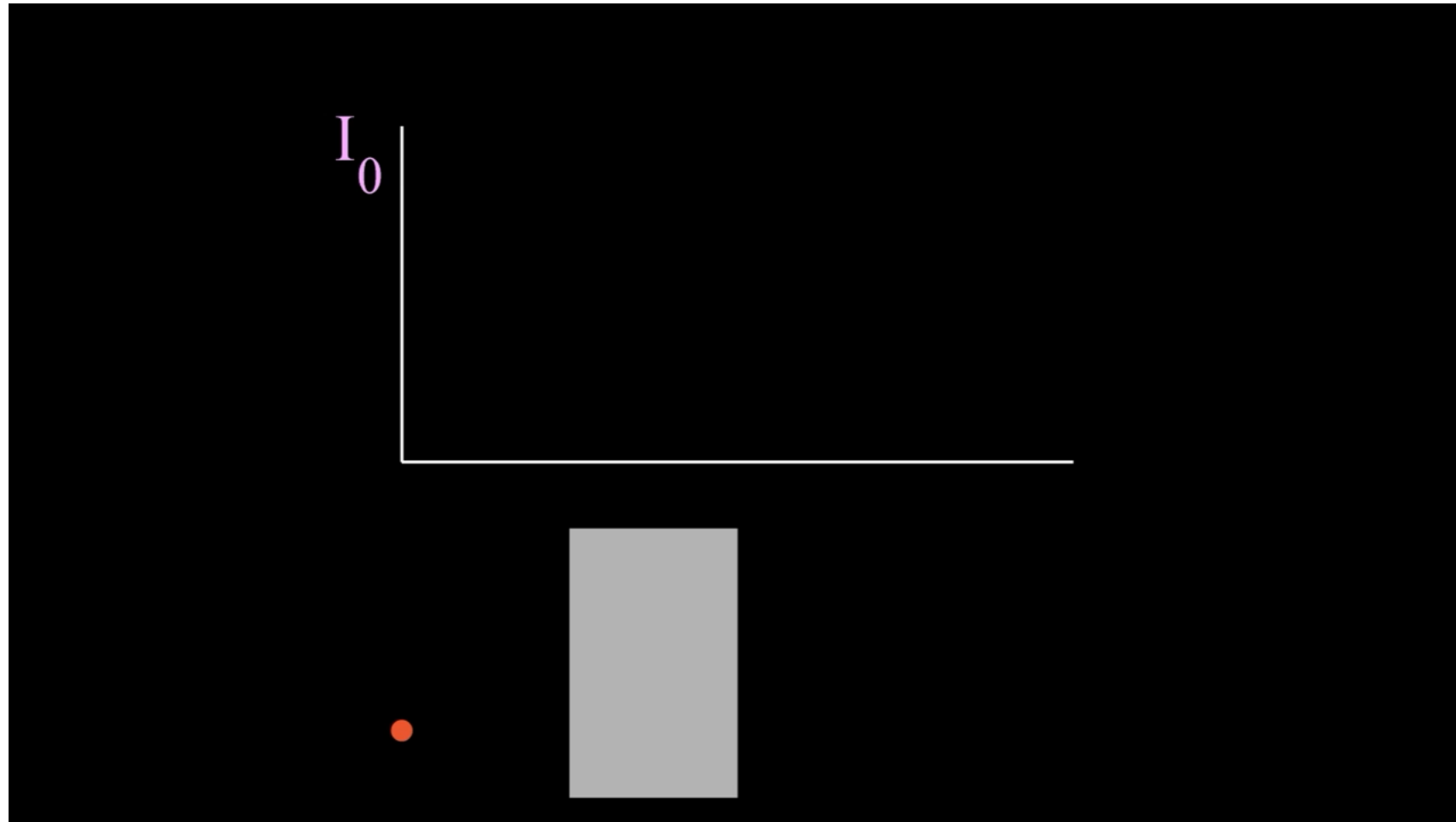
$$\begin{aligned}\kappa &= f(T, P, \chi, \dots) \\ \mu &= f(T, P, \chi, \dots)\end{aligned}$$

Interprétation en termes
d'**hétérogénéités thermiques ou
compositionnelles**

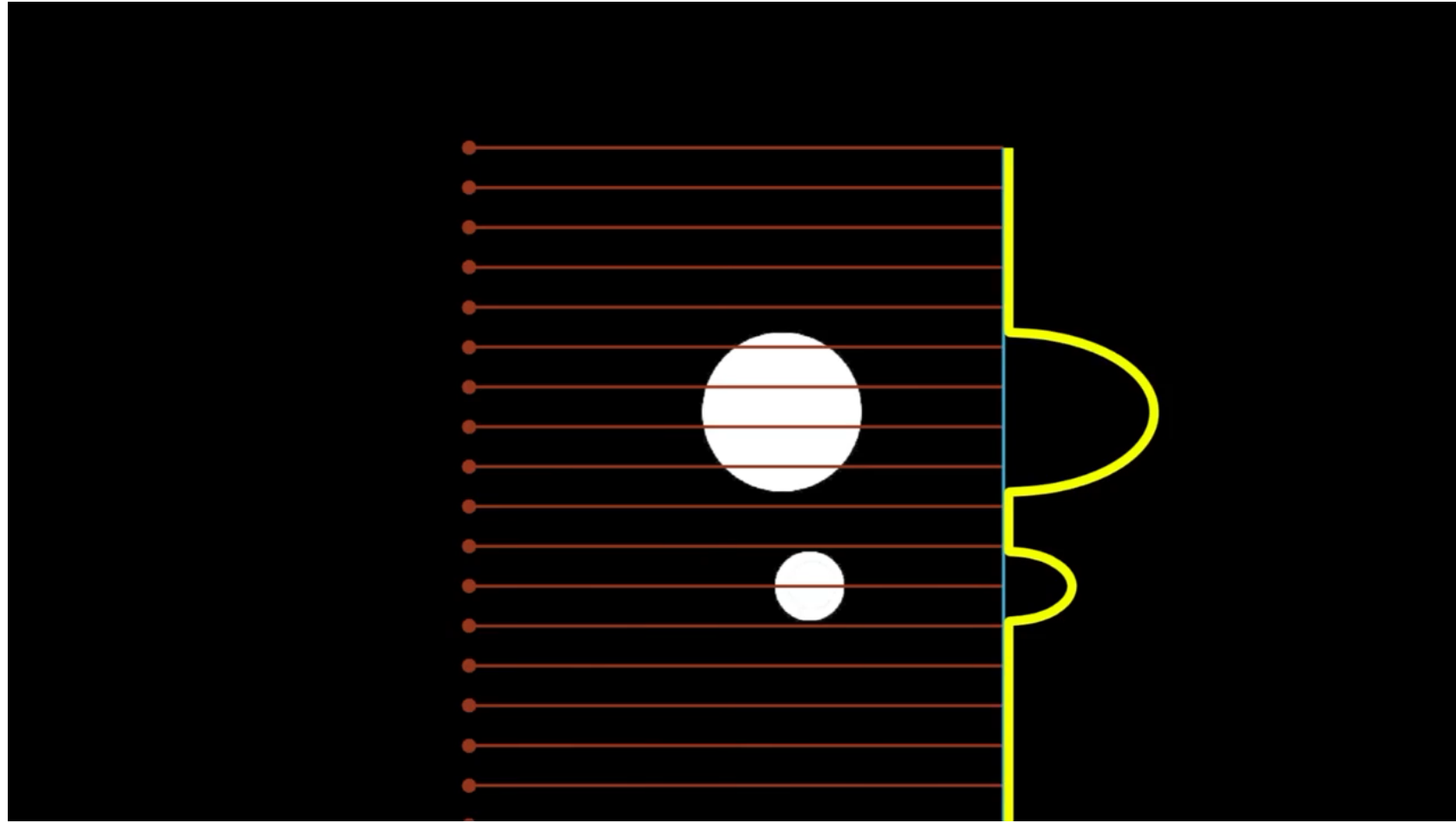


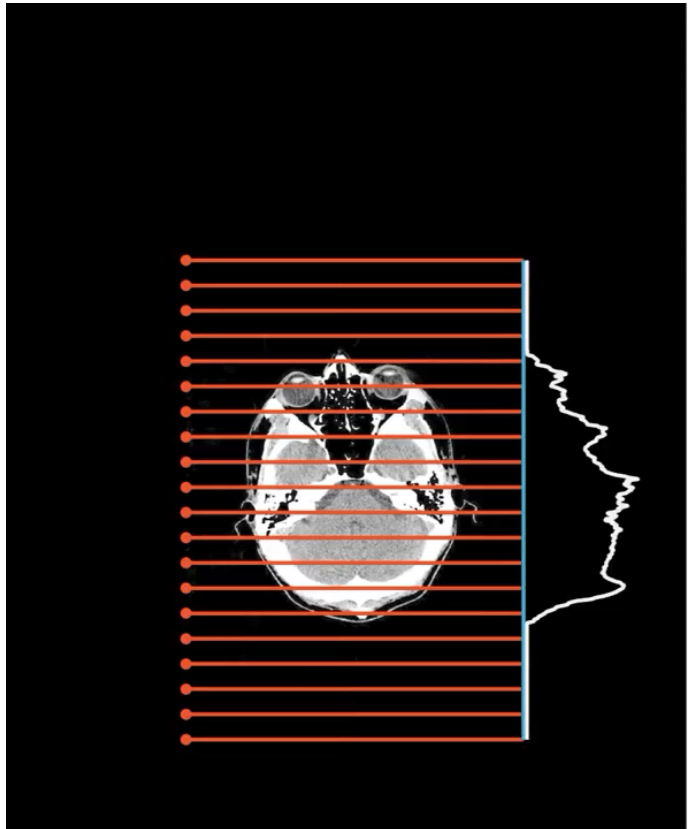


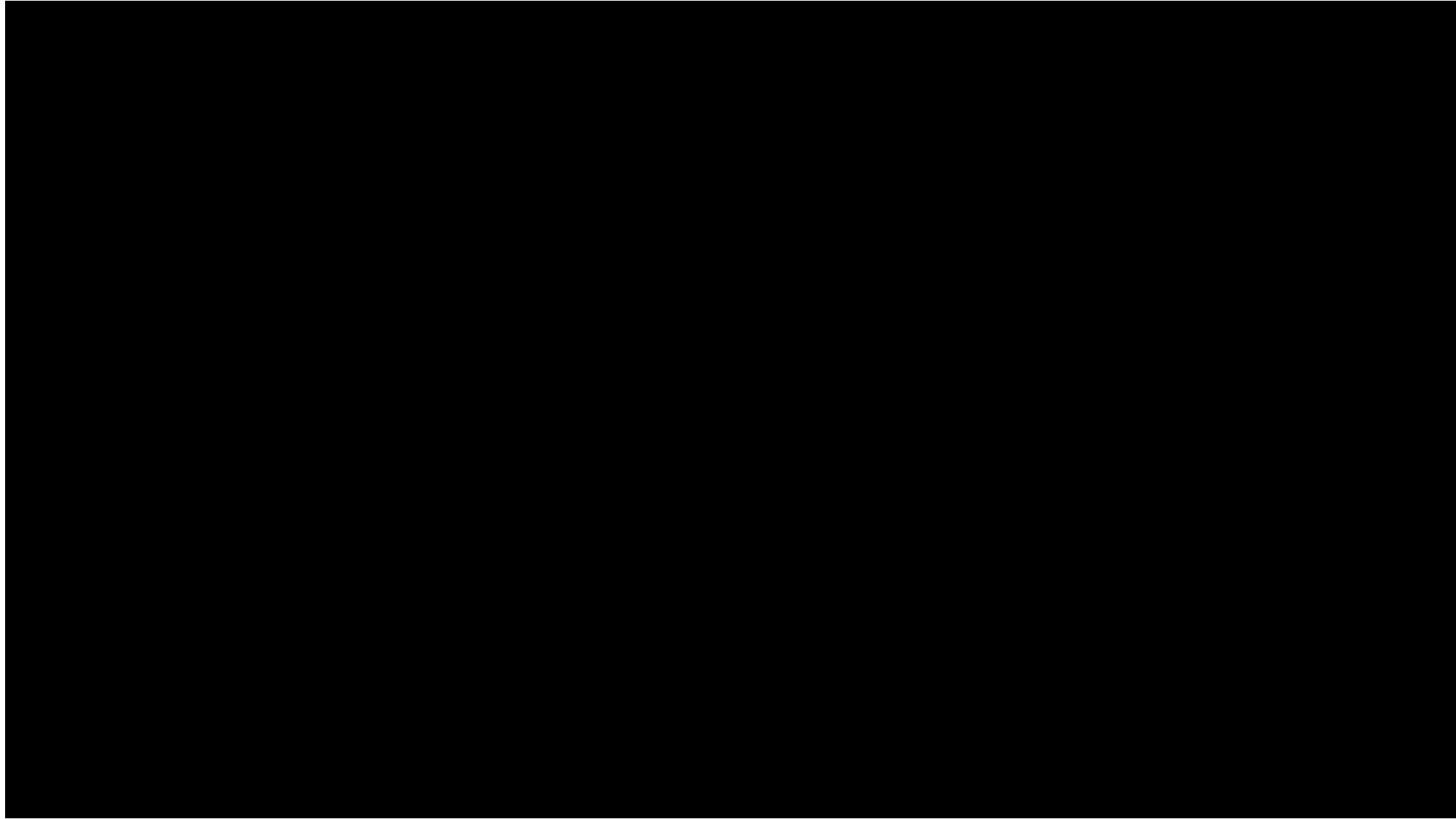


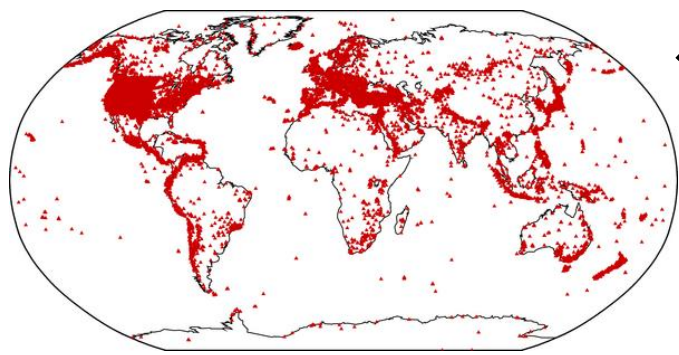
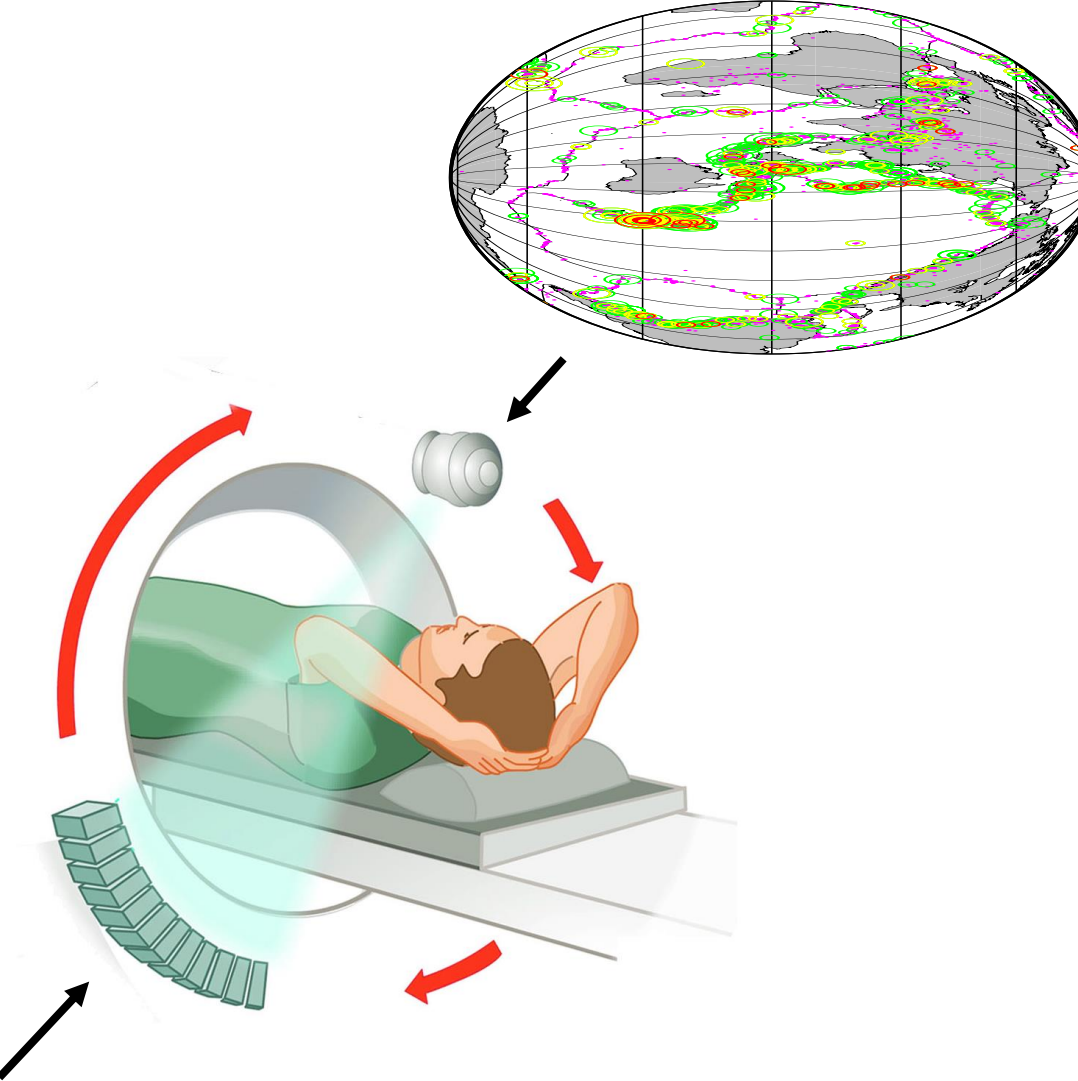


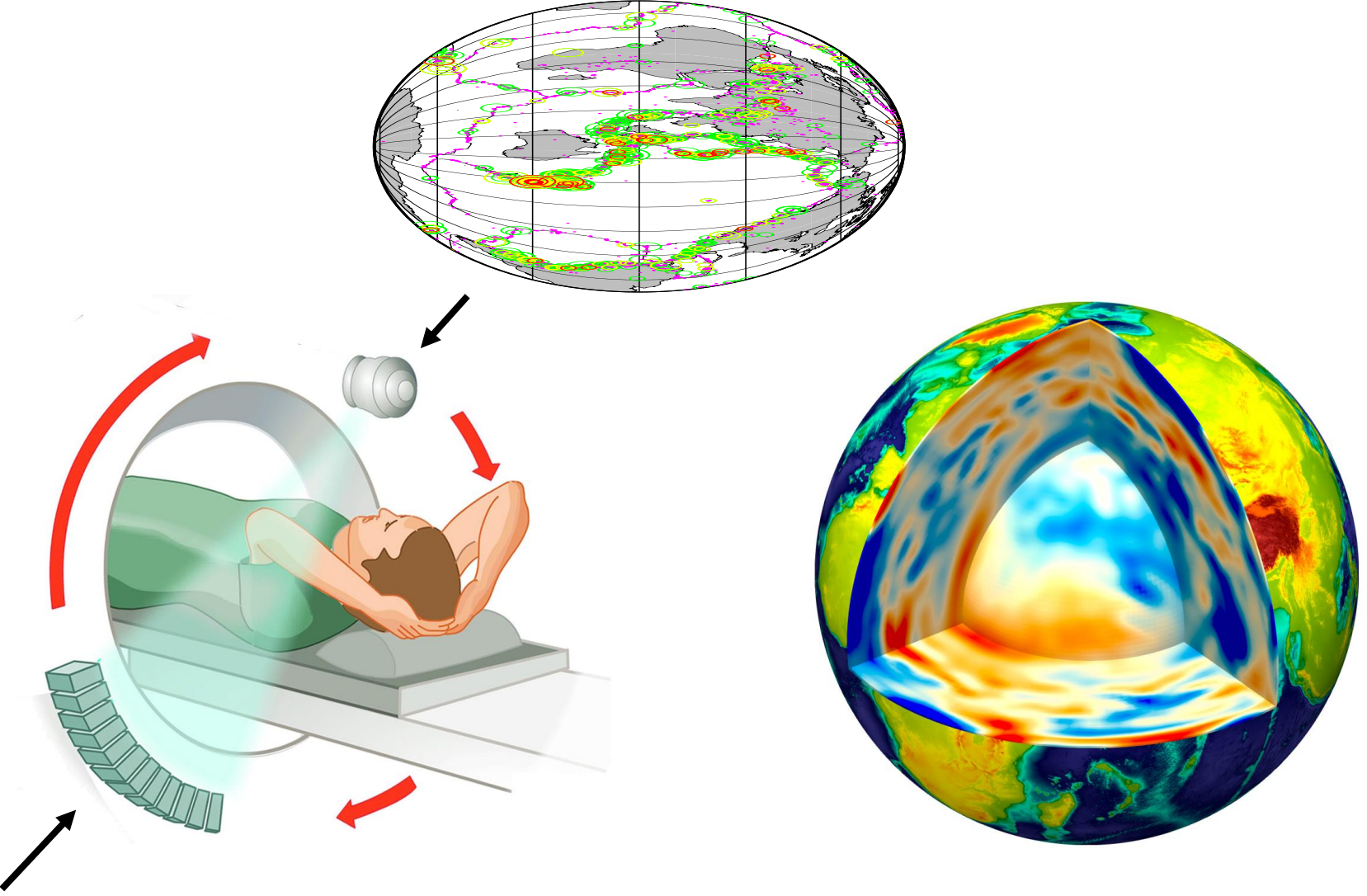
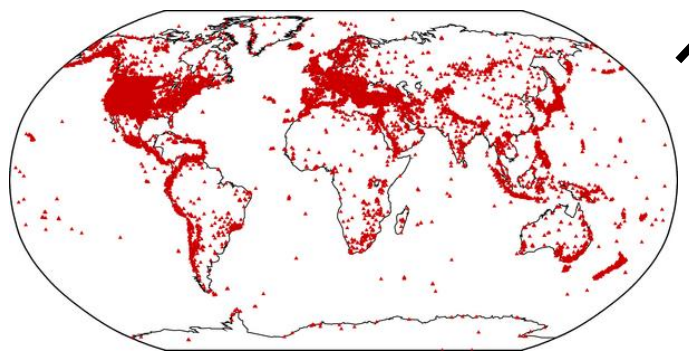
I_0





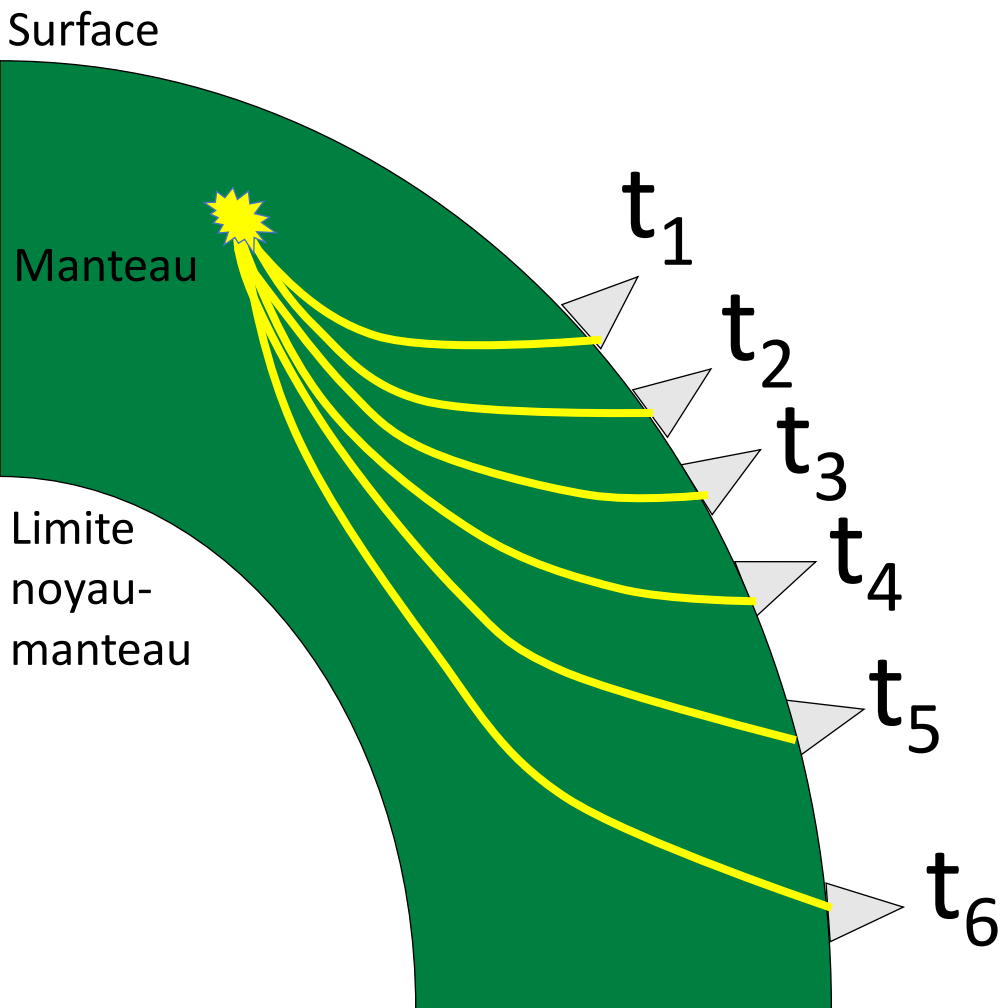






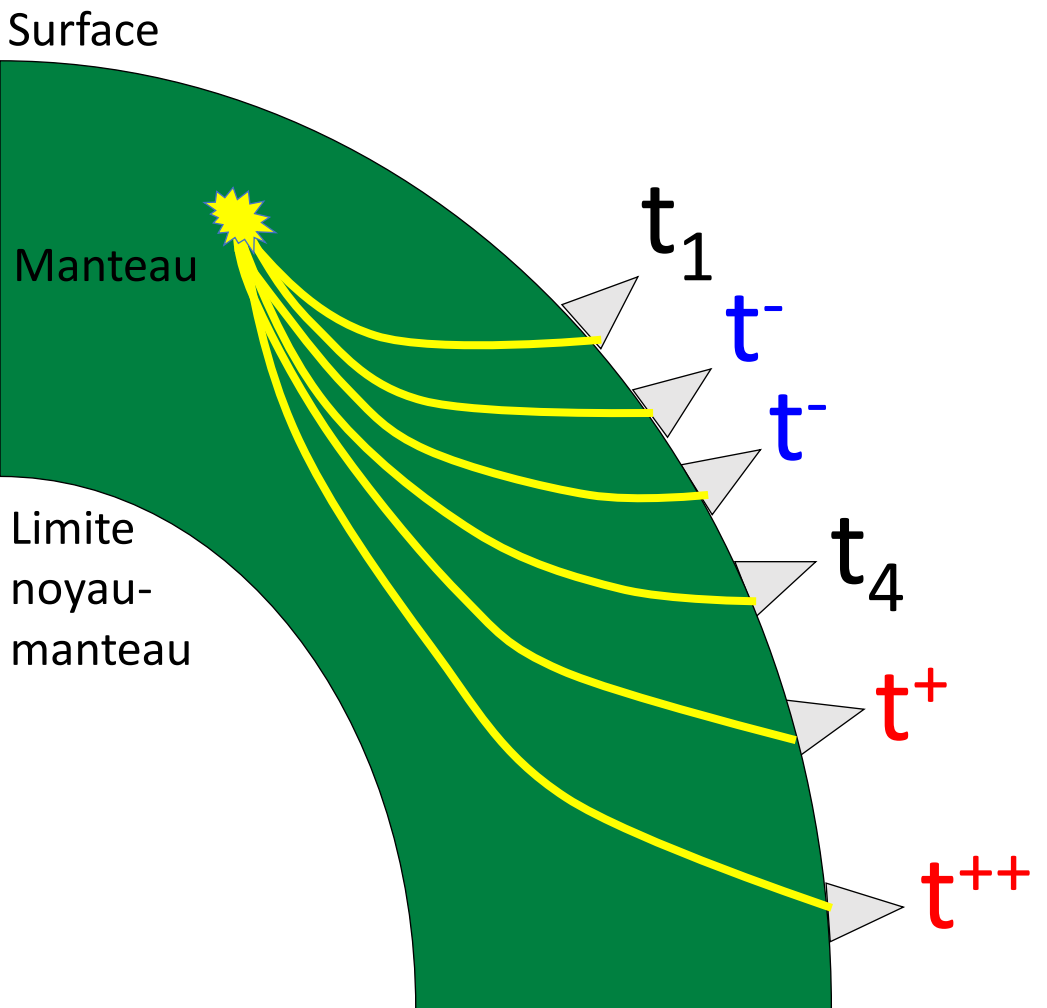
Hypothèse

Manteau terrestres est homogène



Hypothèse

Manteau terrestres est homogène

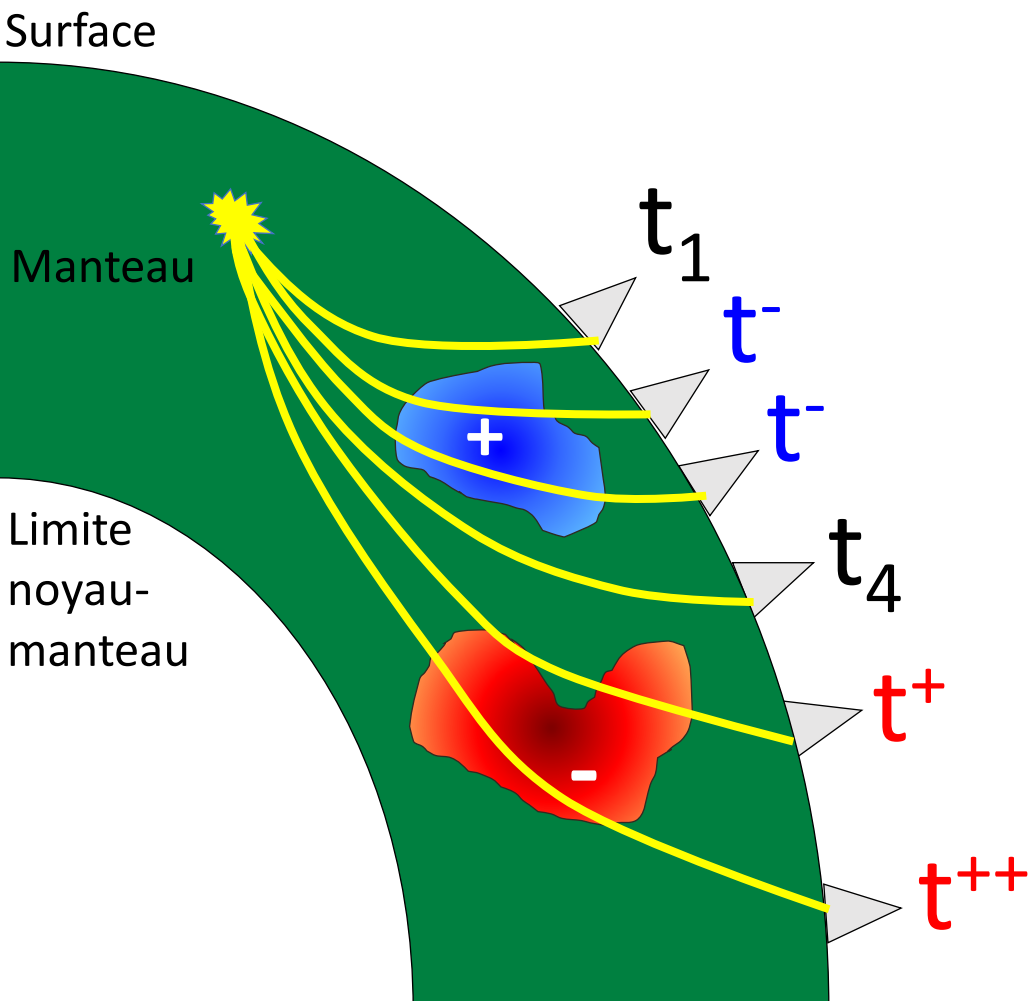


Observations

Temps de trajet

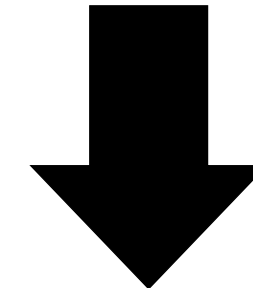
Hypothèse

Manteau terrestres est homogène



Observations

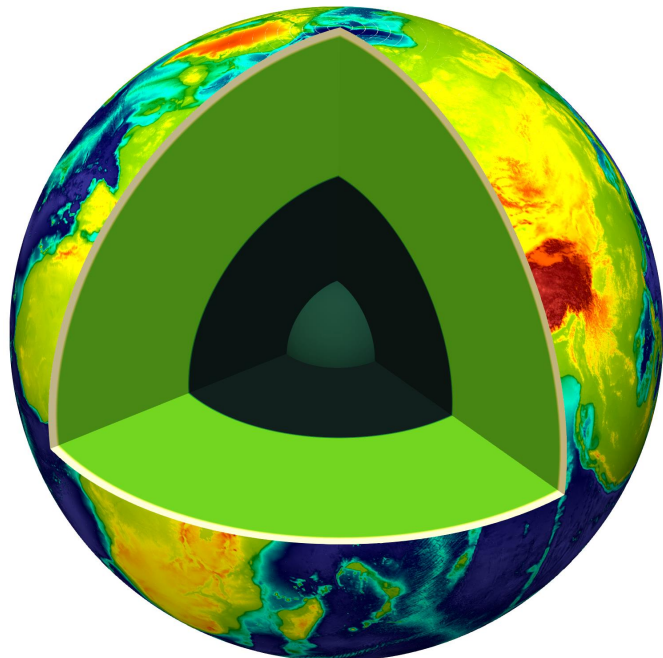
Temps de trajet



Inversion tomographique

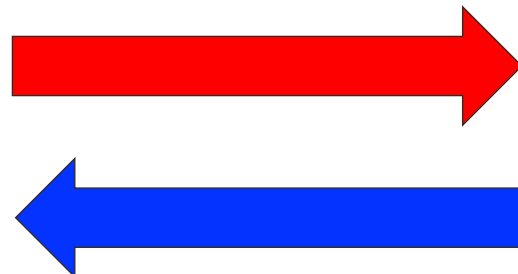
Modèles 3D de la vitesse des
ondes dans le manteau terrestre

Modèle (m)



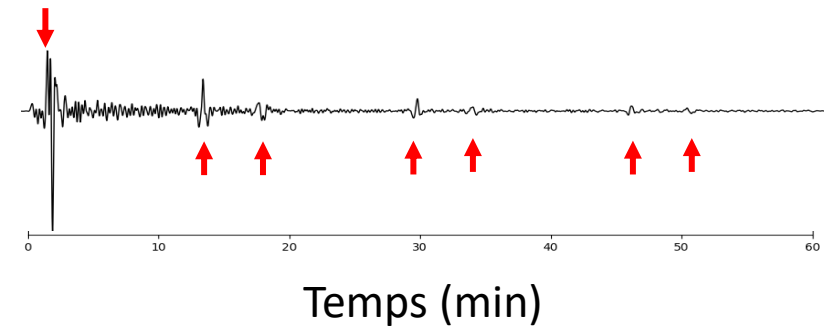
Problème direct

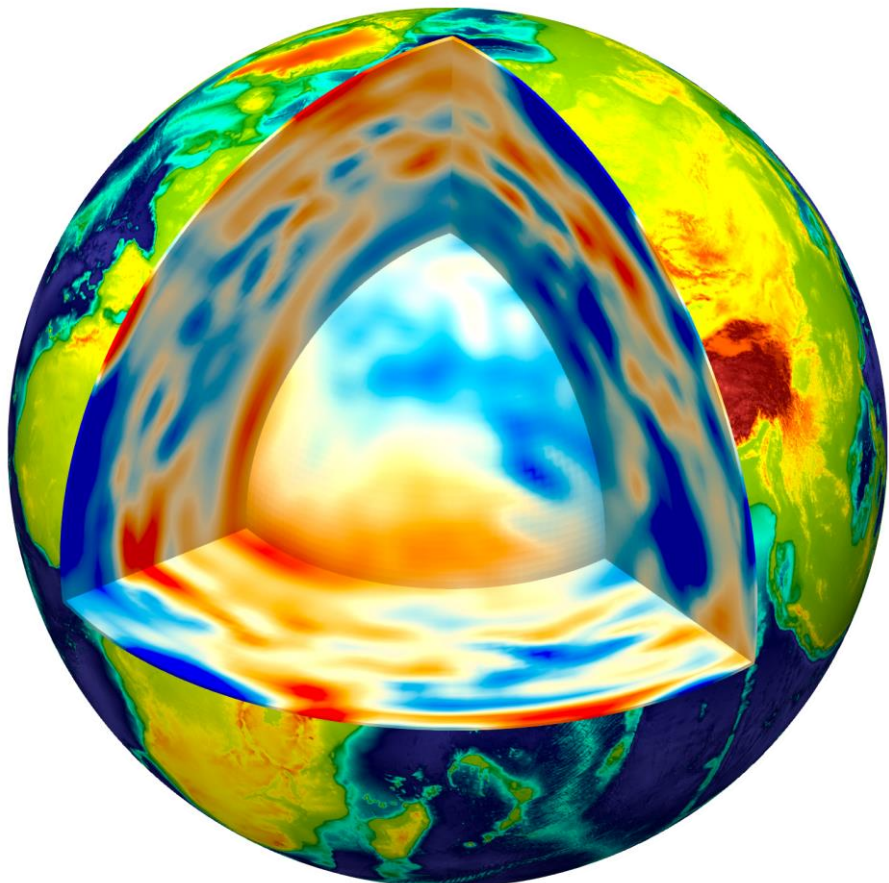
$$d = g(m) + \varepsilon$$



Problème inverse
 $m = \dots ?$

Données (d)





DONNÉES SISMIQUES

- Modes propres, ondes de surface, ondes de volume
 - Mesures ou forme d'onde

PARAMÉTRISATION

- Blocs ou fonctions continues
- Vitesse, anisotropie, atténuation

THÉORIE

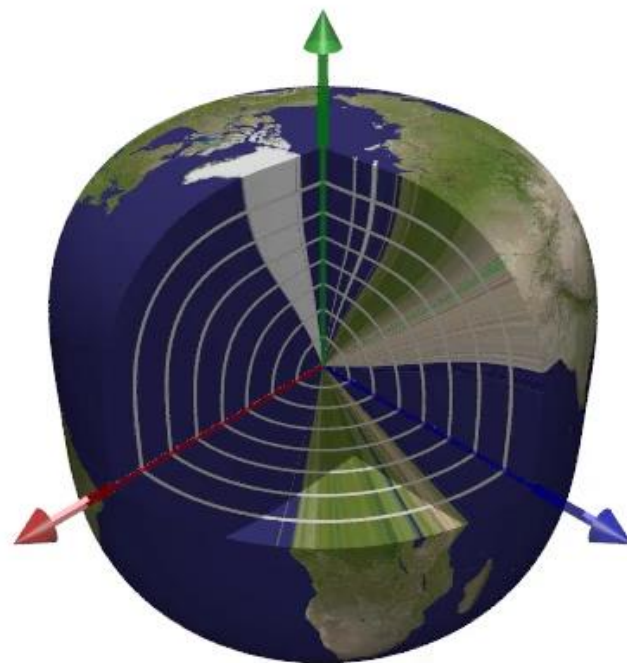
- Théorie des rais ou noyaux fréquence finie

RÉGULARISATION

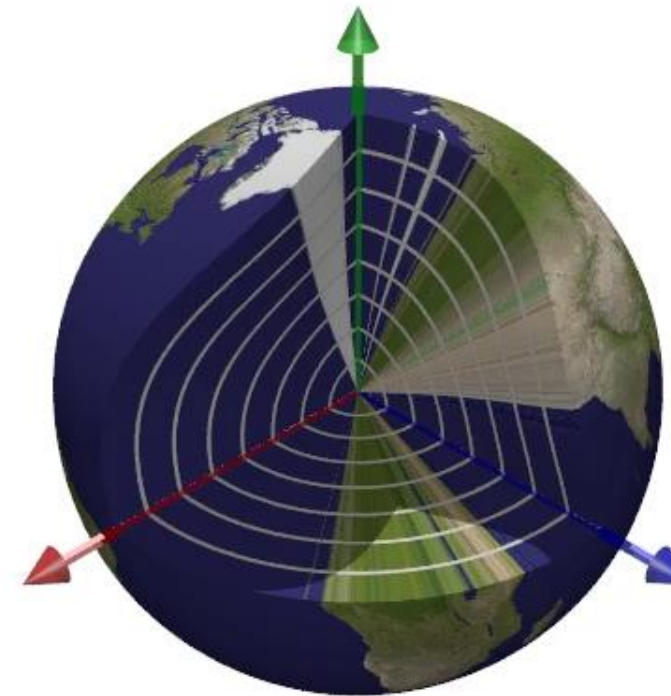
DONNÉES SISMIQUES

- Modes propres, ondes de surface, ondes de volume
 - Mesures ou forme d'onde

${}_0S_4$ Period ~26 minutes

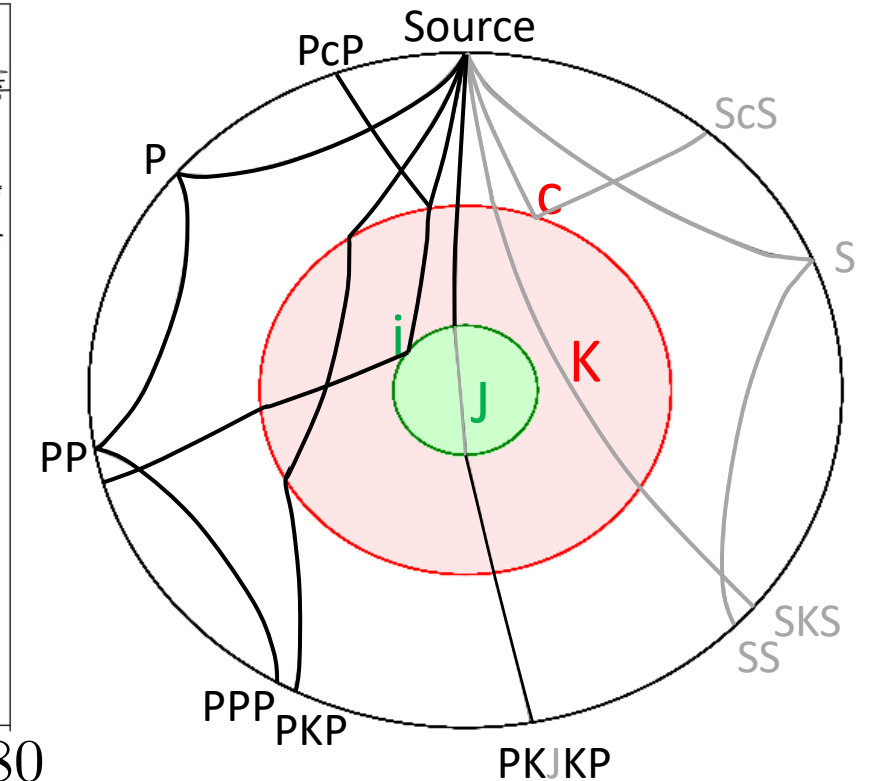
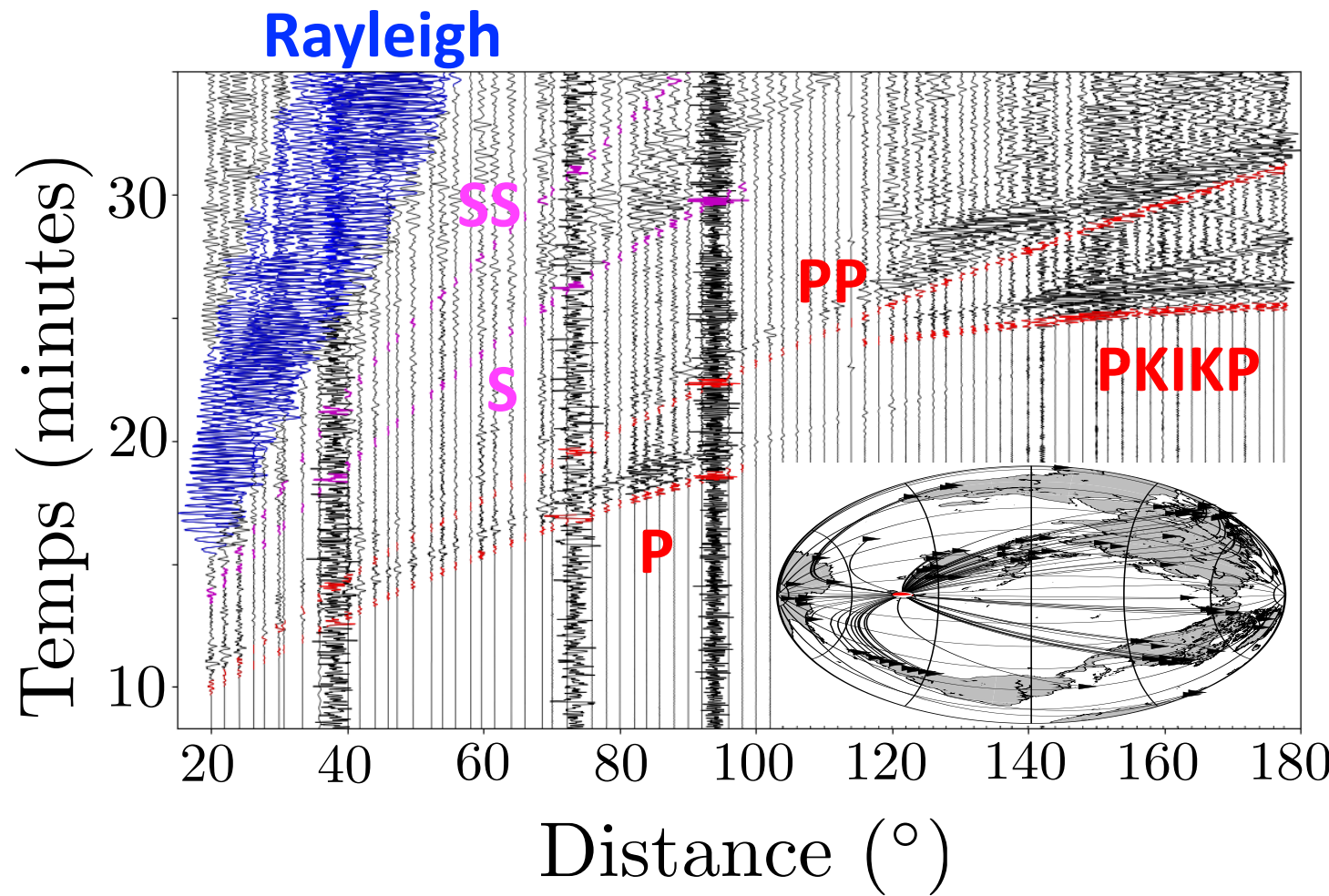


${}_0T_4$ Period ~22 minutes



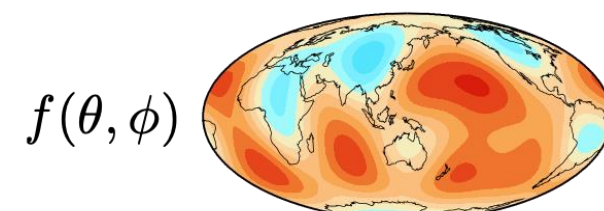
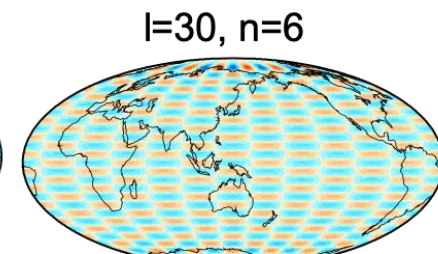
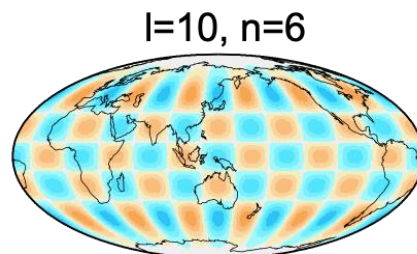
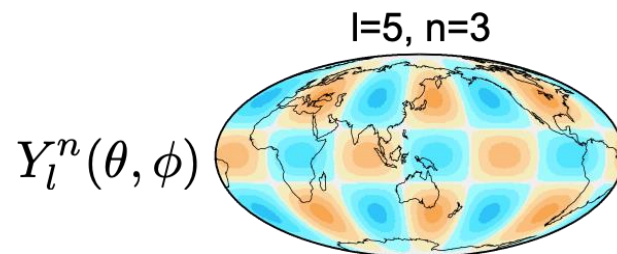
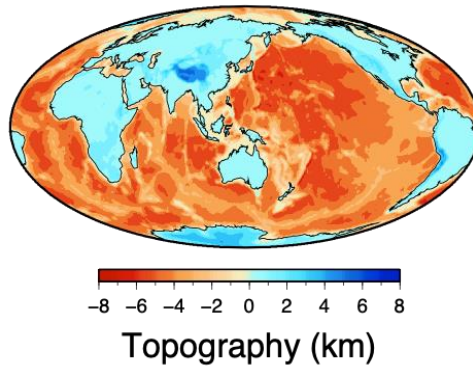
DONNÉES SISMIQUES

- Modes propres, ondes de surface, ondes de volume
 - Mesures ou forme d'onde

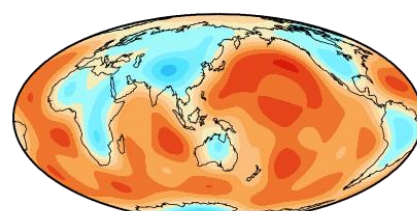


PARAMÉTRISATION

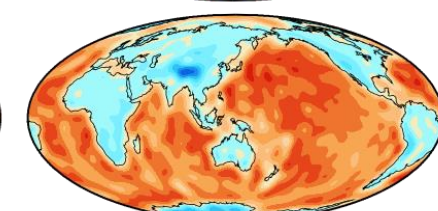
- Blocs ou fonctions continues
- Vitesse, anisotropie, atténuation



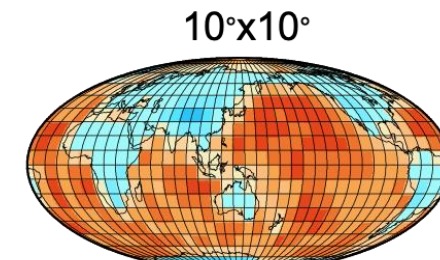
$l_{\max} = 5$
 $\lambda \sim 8000 \text{ km}$
 $N = 36$



$l_{\max} = 10$
 $\lambda \sim 4000 \text{ km}$
 $N = 110$



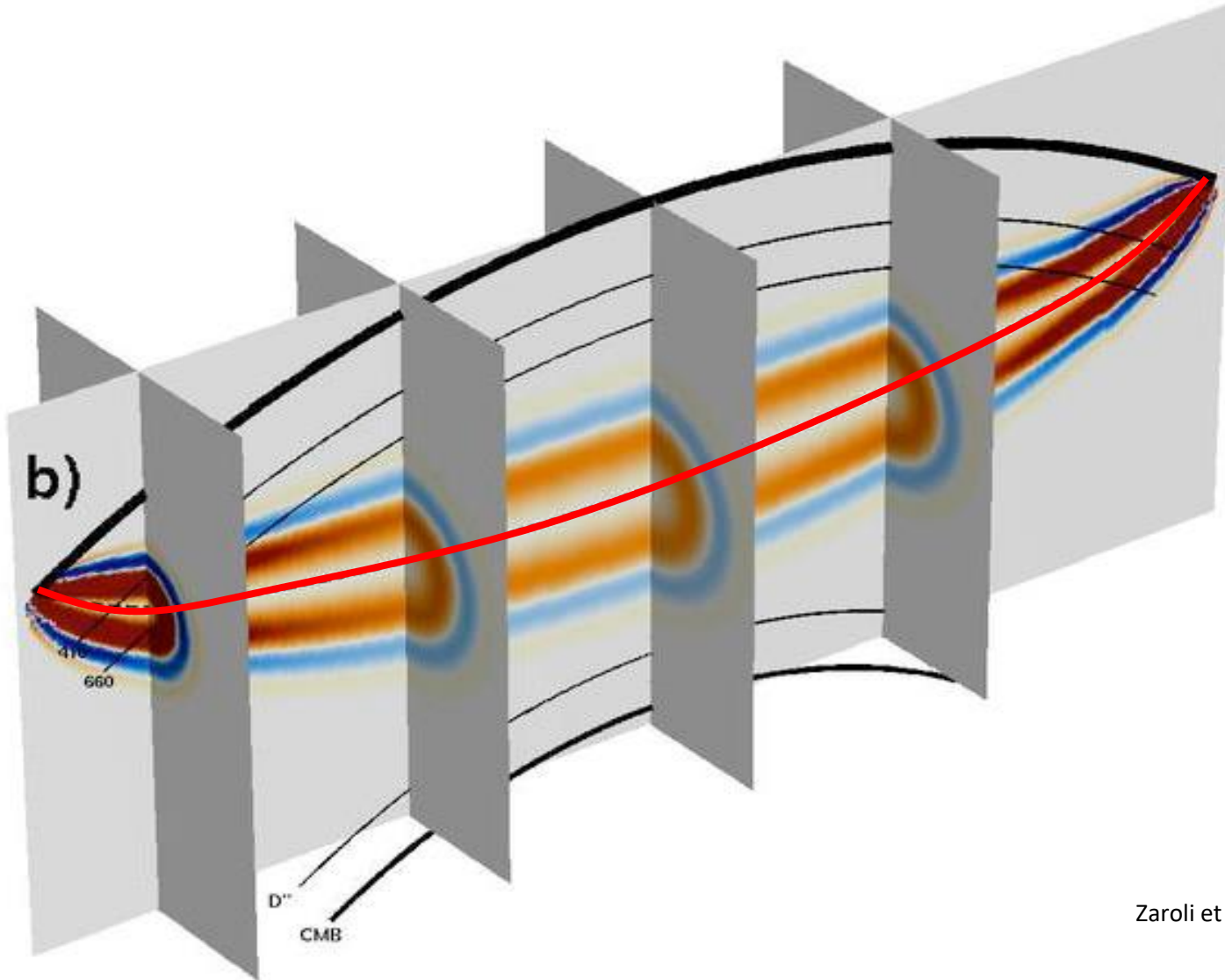
$l_{\max} = 30$
 $\lambda \sim 1300 \text{ km}$
 $N = 961$



$\lambda \sim 1100 \text{ km}$
 $N = 648$

THÉORIE

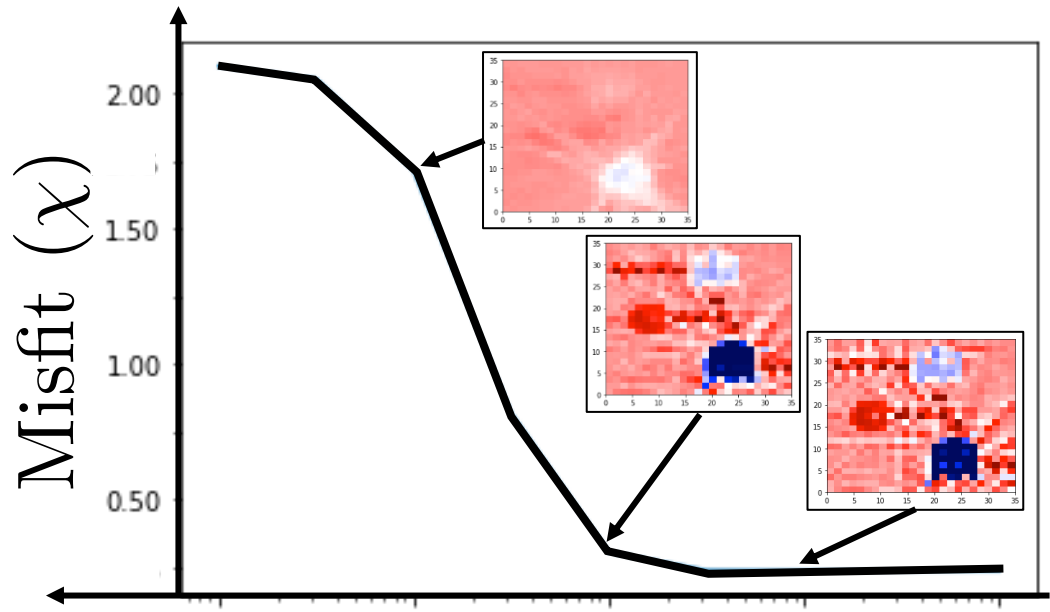
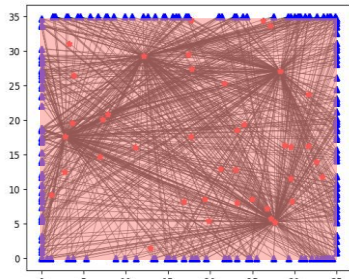
- Théorie des rais ou noyaux fréquence finie



Zaroli et al. [2010]

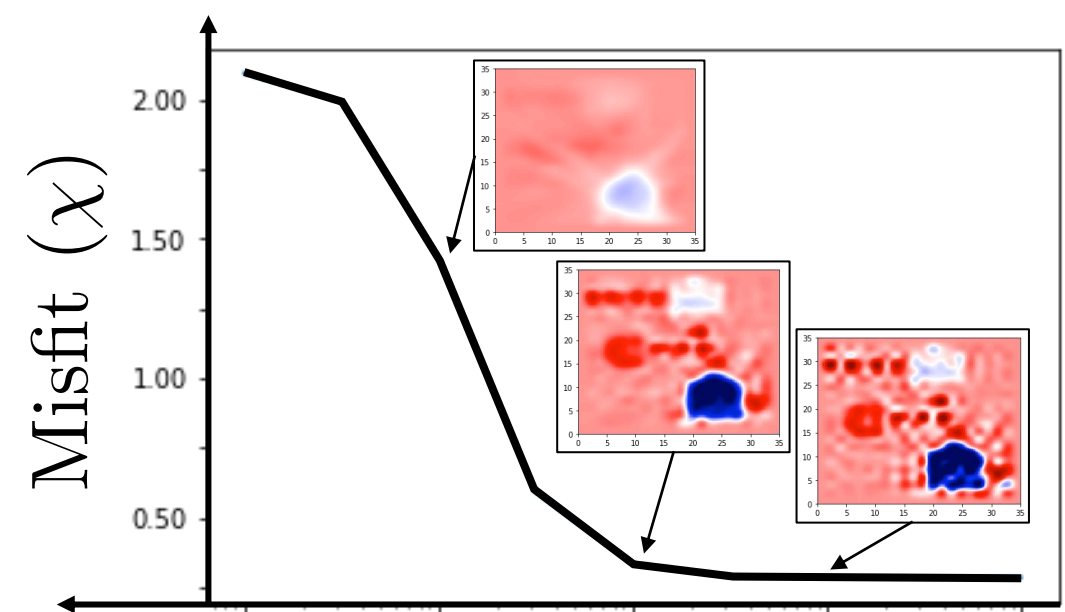
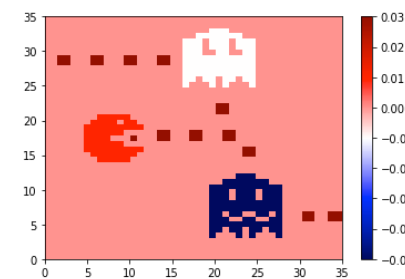
RÉGULARISATION

Modèle a priori



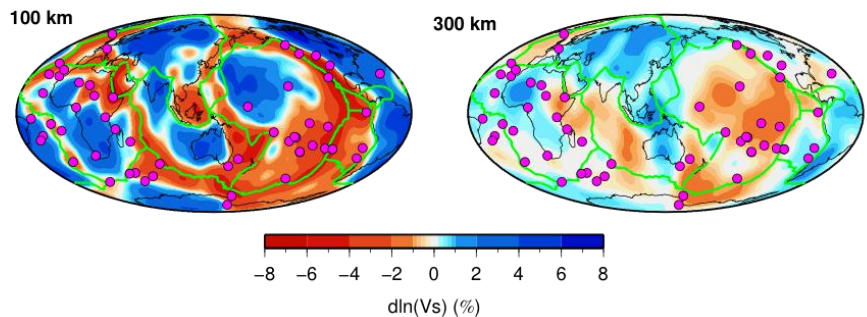
Régularisation (σ_m)

Modèle vrai

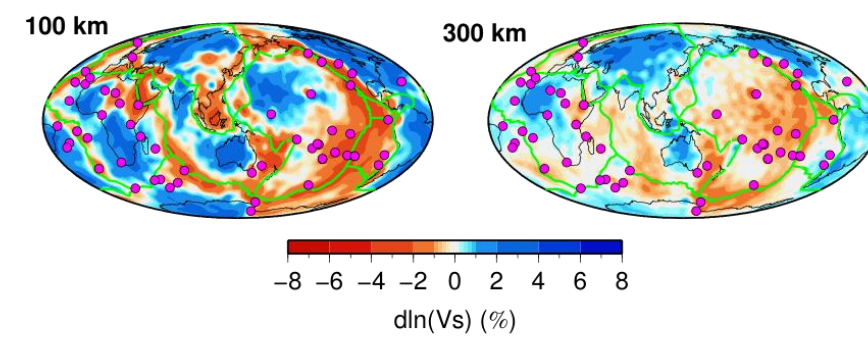


Régularisation (σ_m)

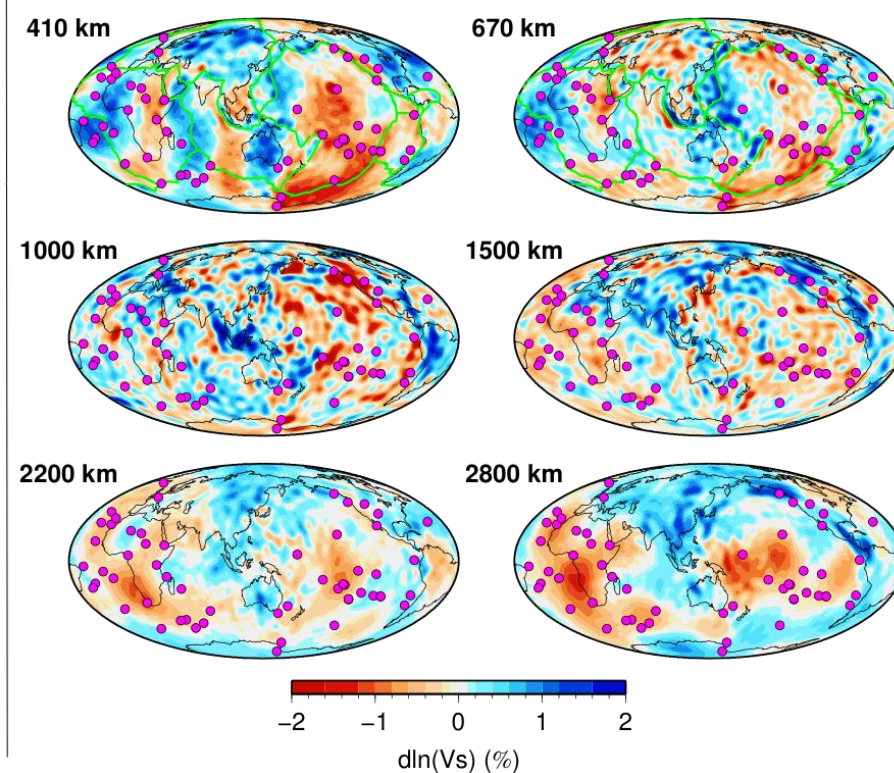
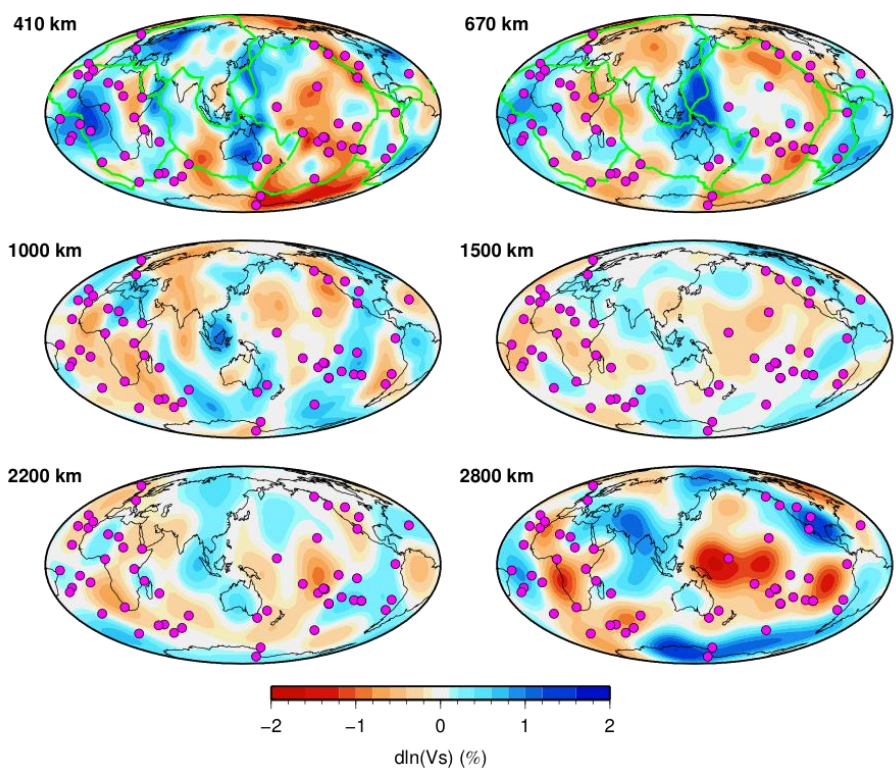
SEISGLOB1



SEISGLOB2



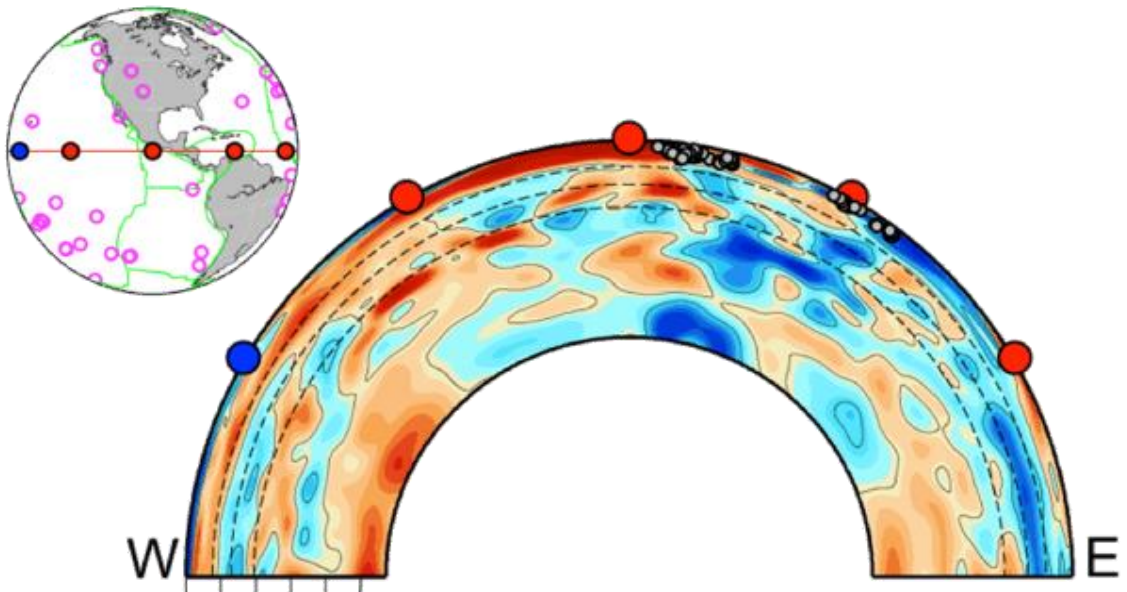
Tectonique
de surface



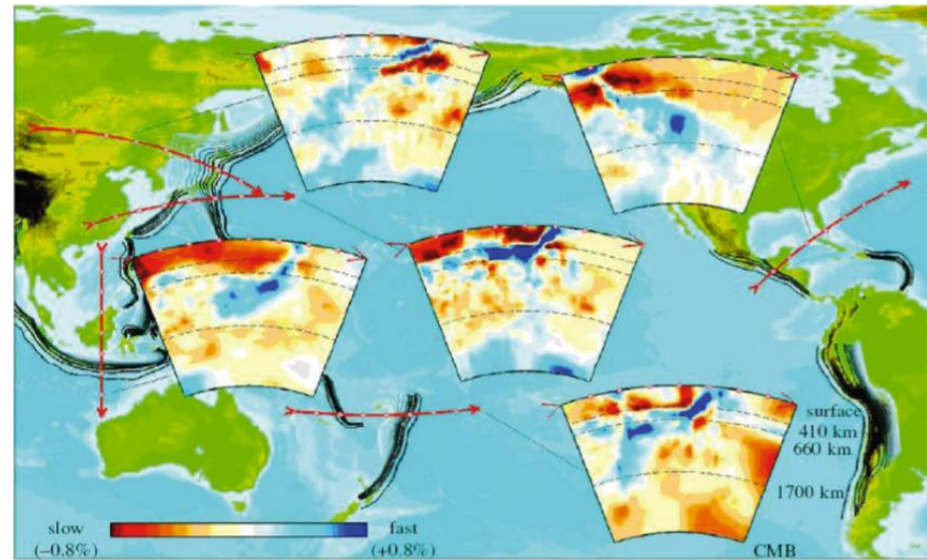
Plaques en
subduction

LLSVPs
Large Low Shear
Velocity Provinces

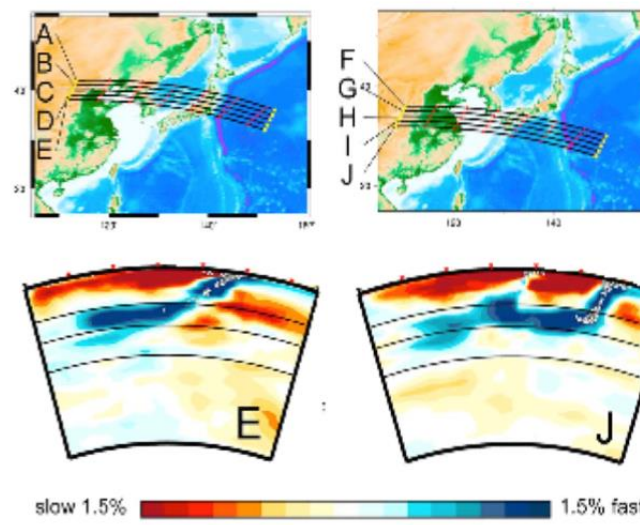
Les plaques en subduction



Durand et al. [2017]

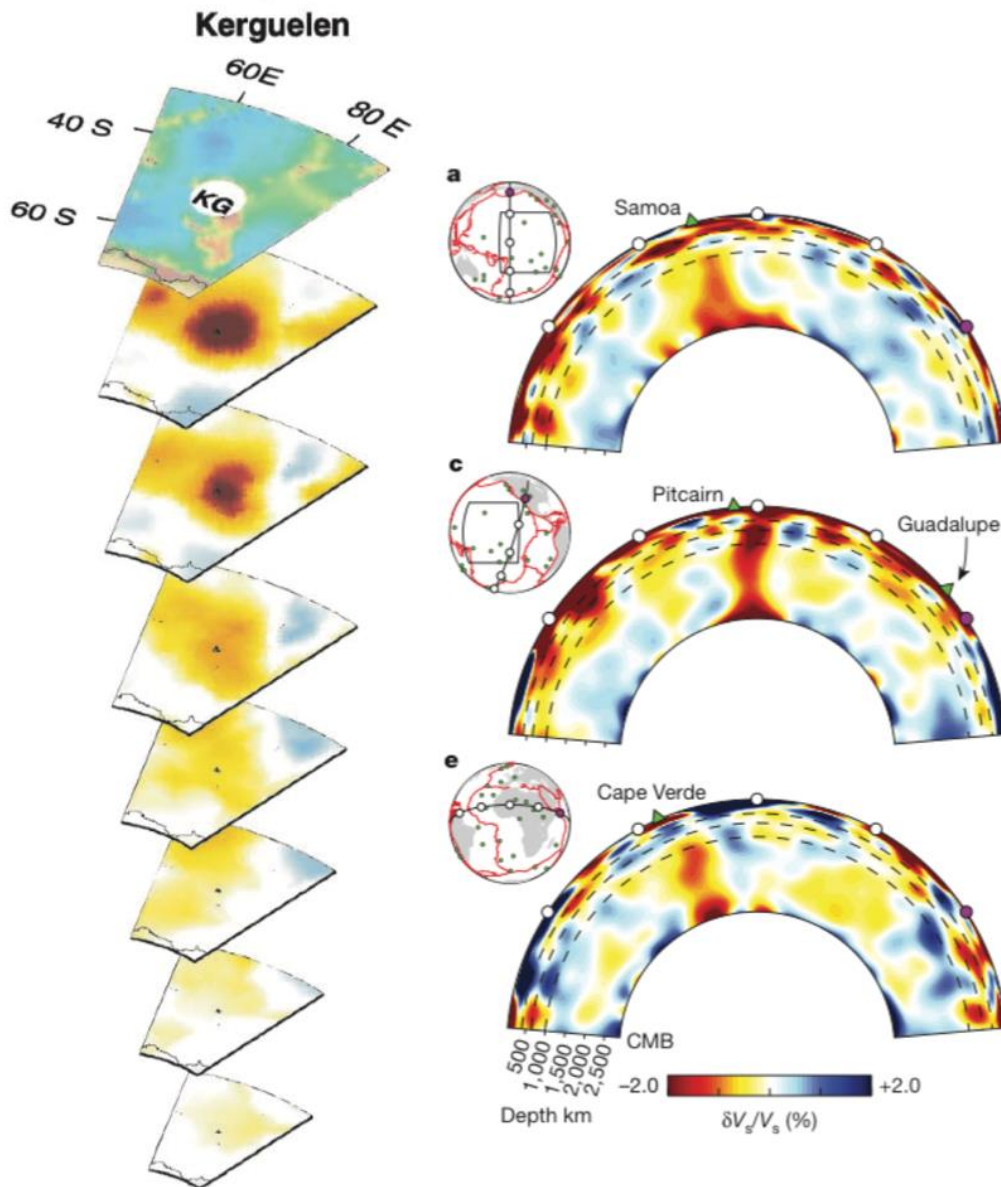


Karason & van der Hilst [2001]



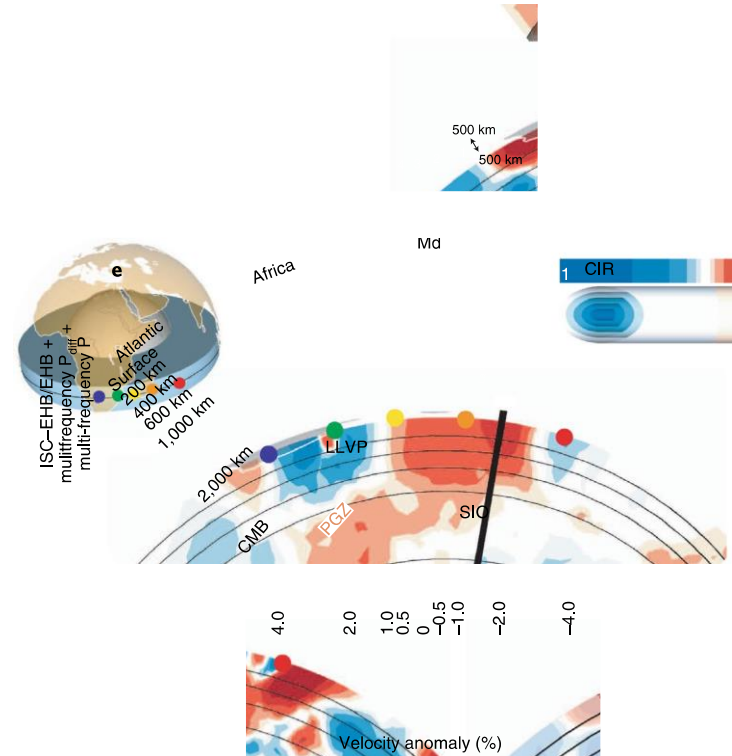
Fukao & Obayashi [2013]

Les panaches mantelliques



Montelli et al. [2004]

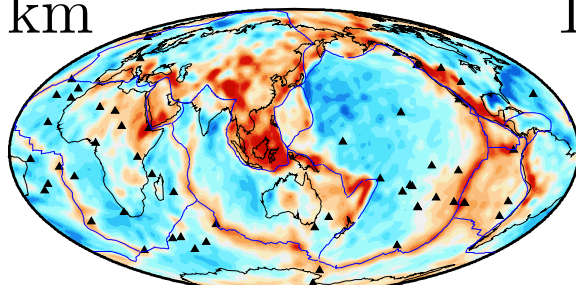
French & Romanowicz [2015]



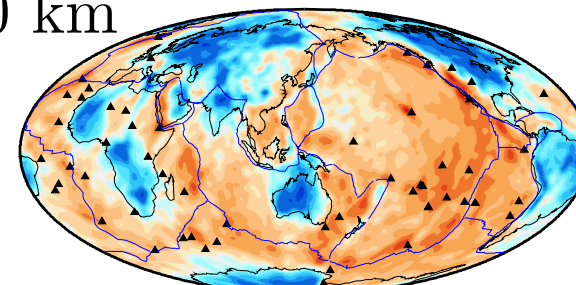
Tsekhmistrenko et al. [2021]

La lithosphère océanique et cratons

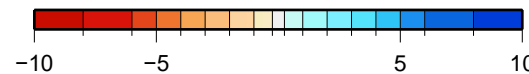
50 km



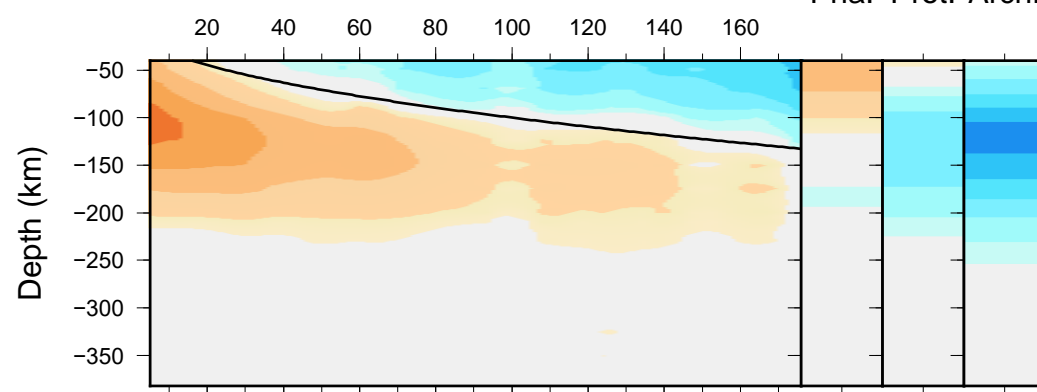
150 km



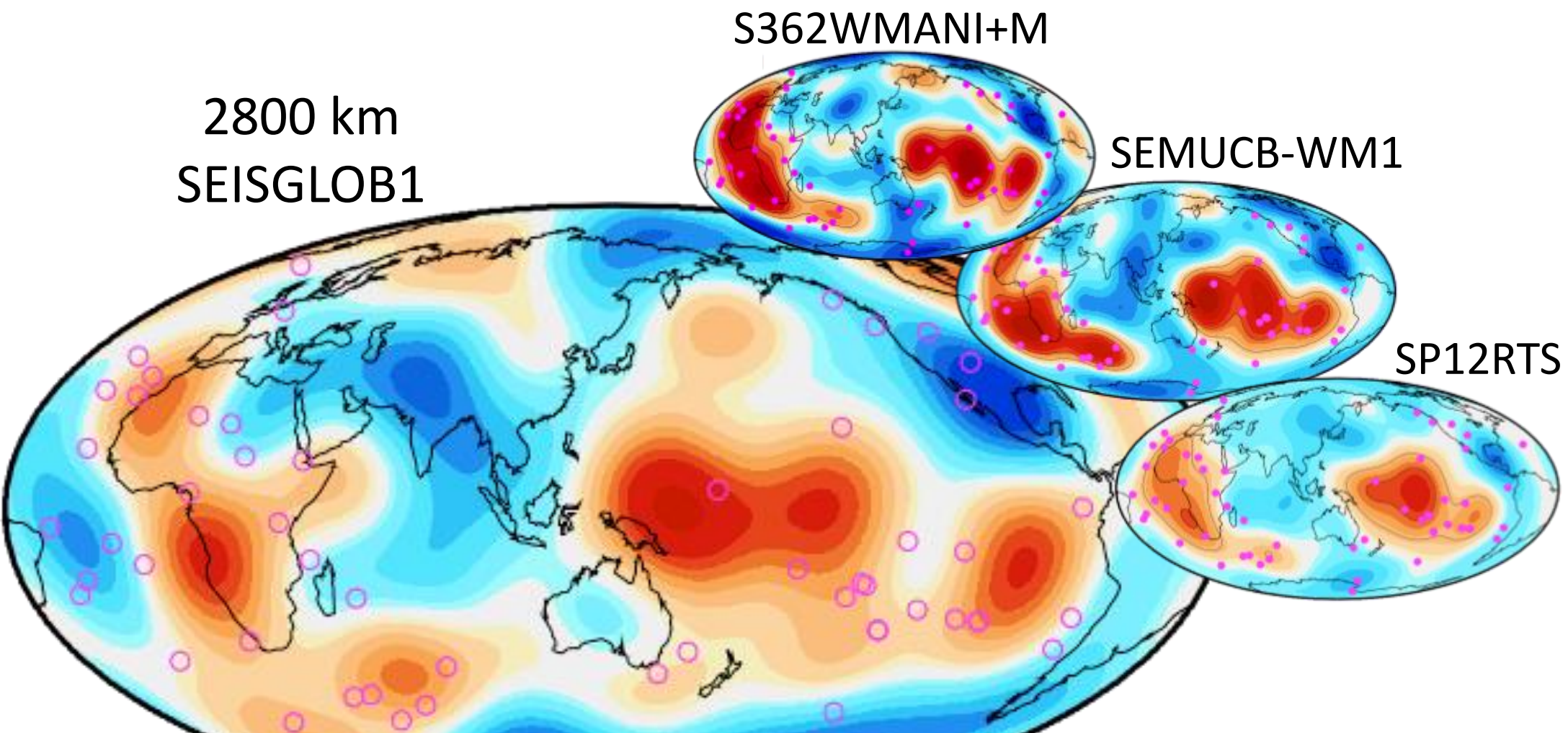
dln(Vs) (%)



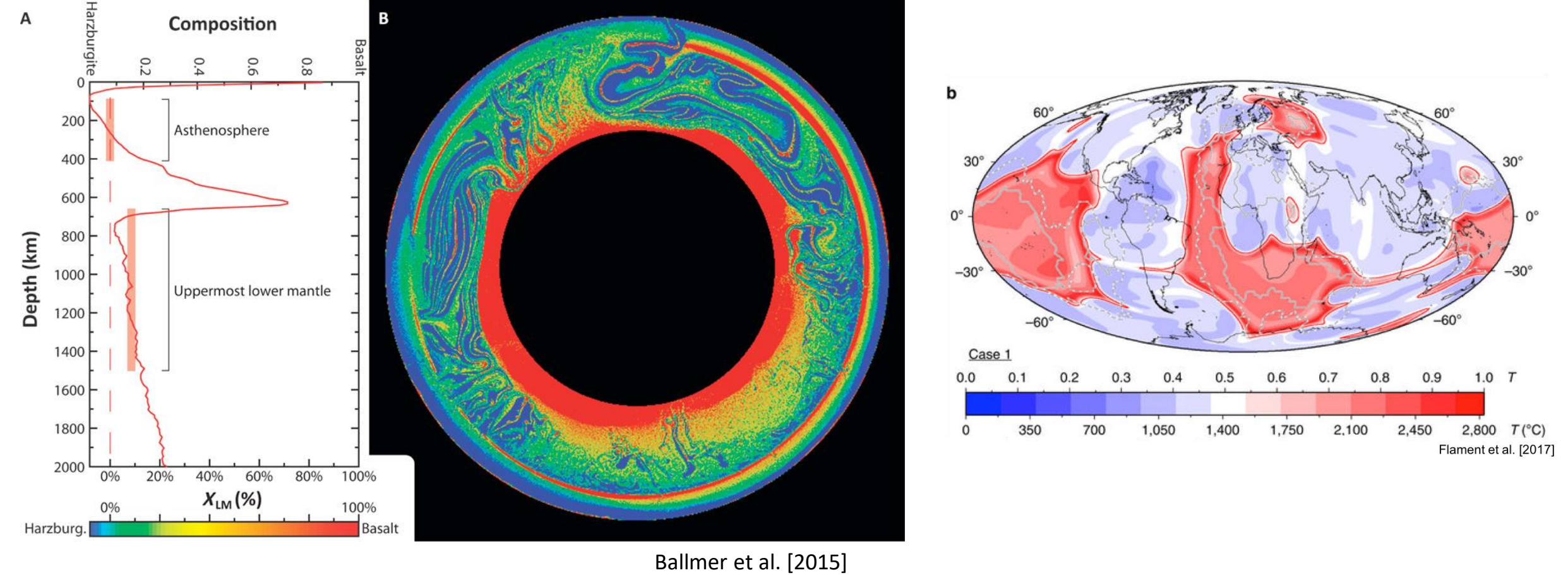
Age (mA)



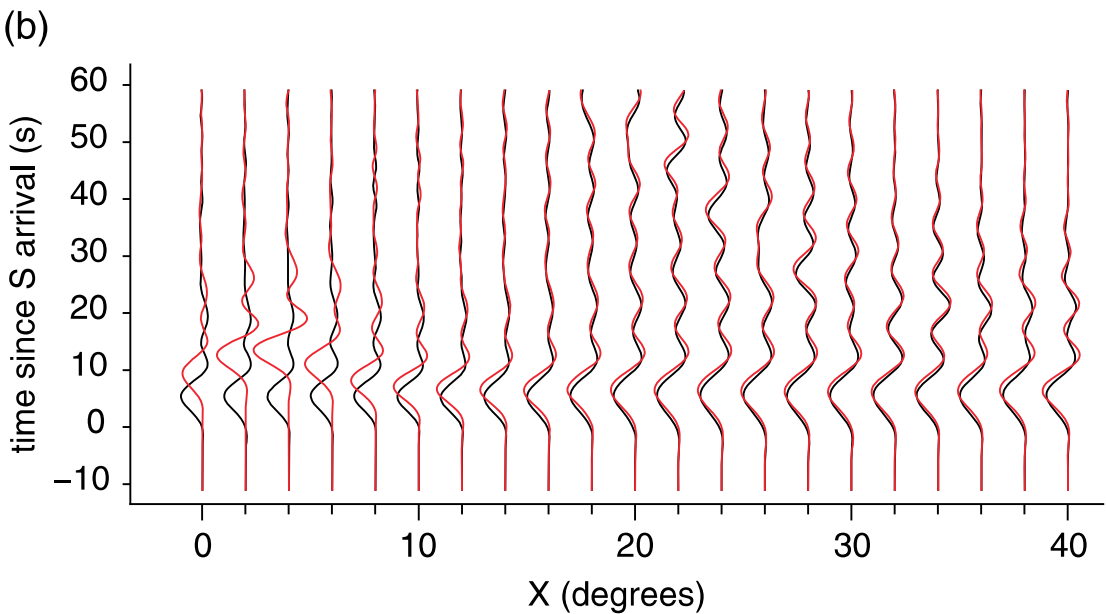
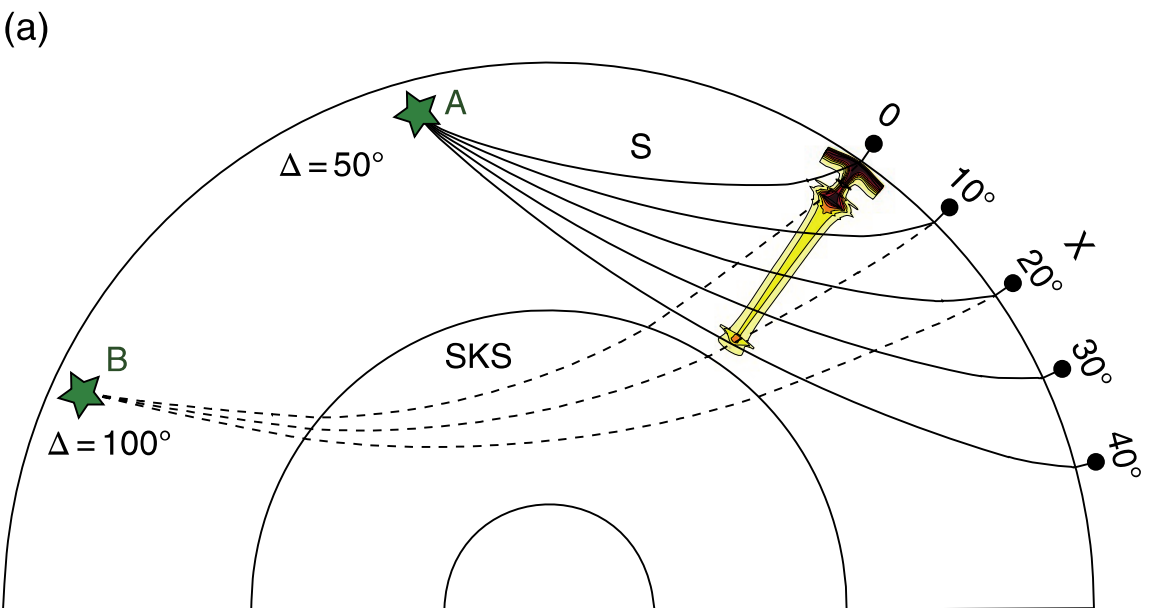
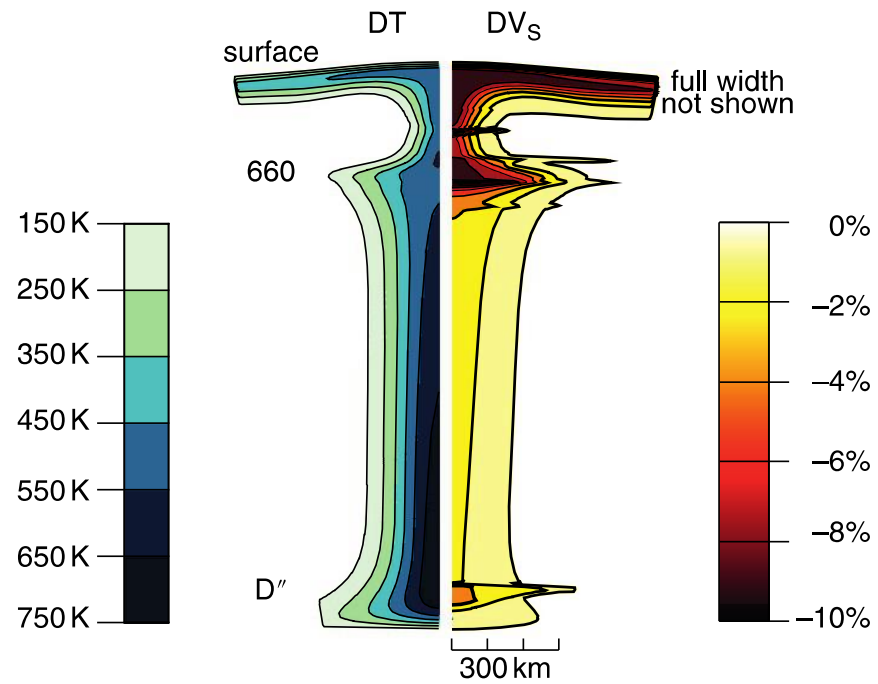
Structure à la base du manteau



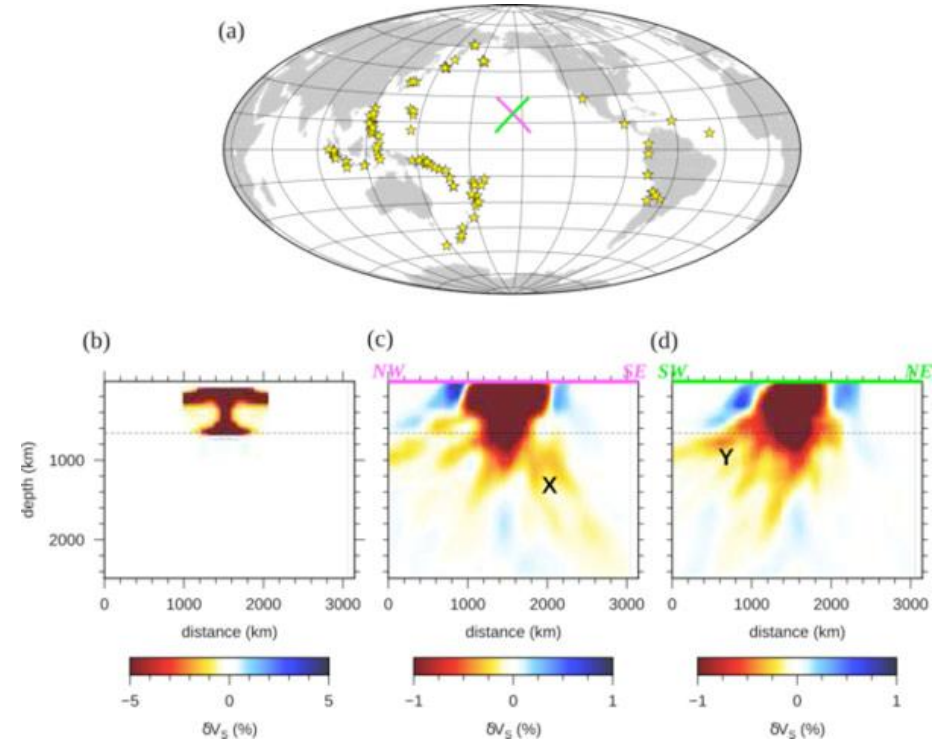
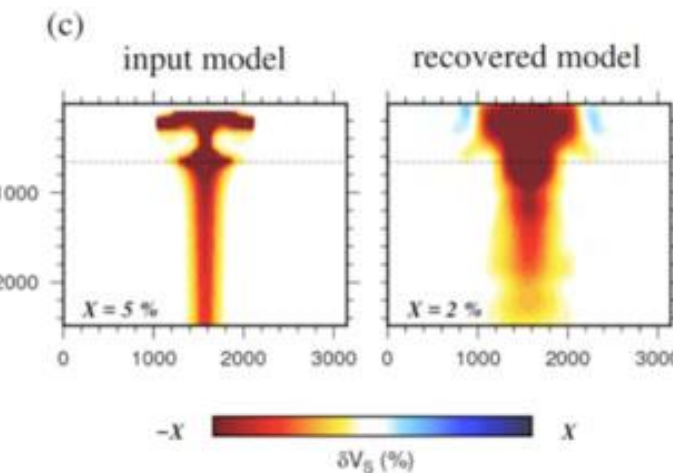
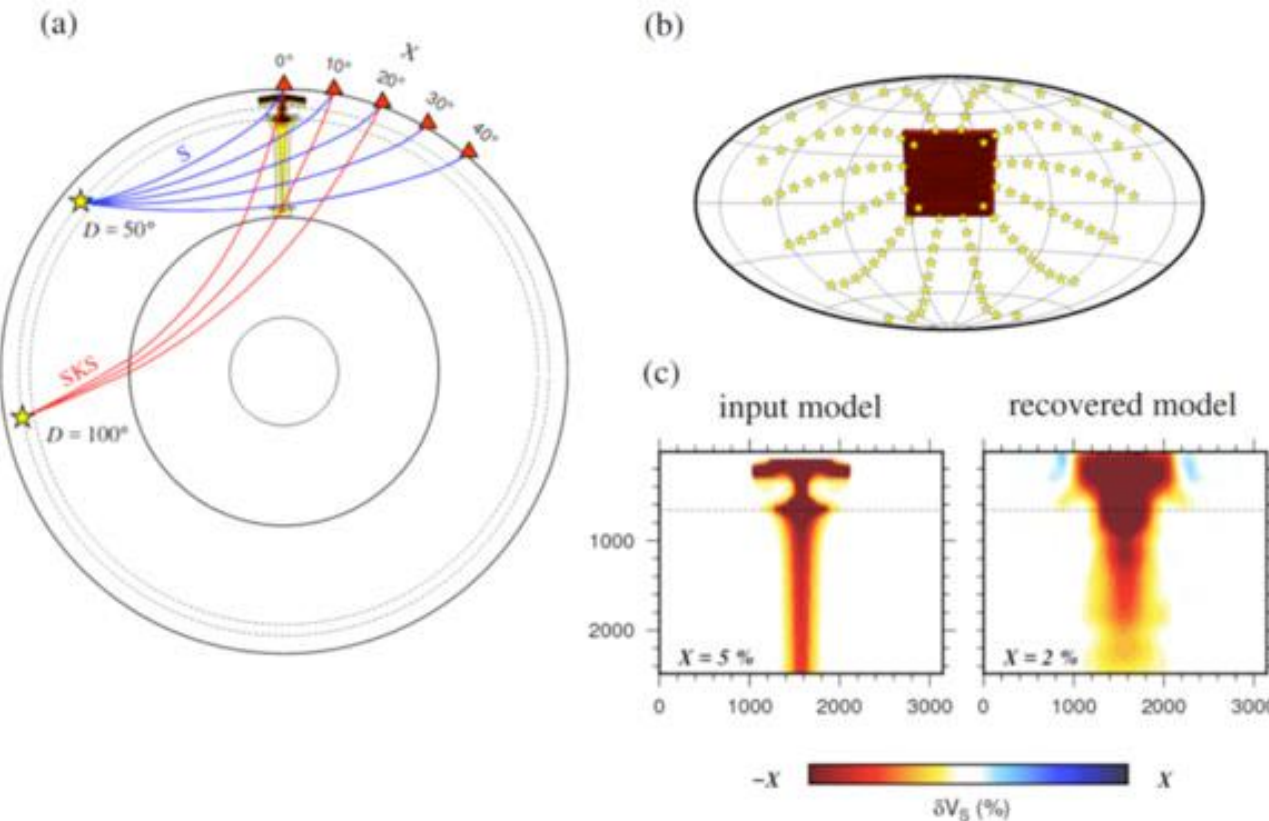
Simulations numériques



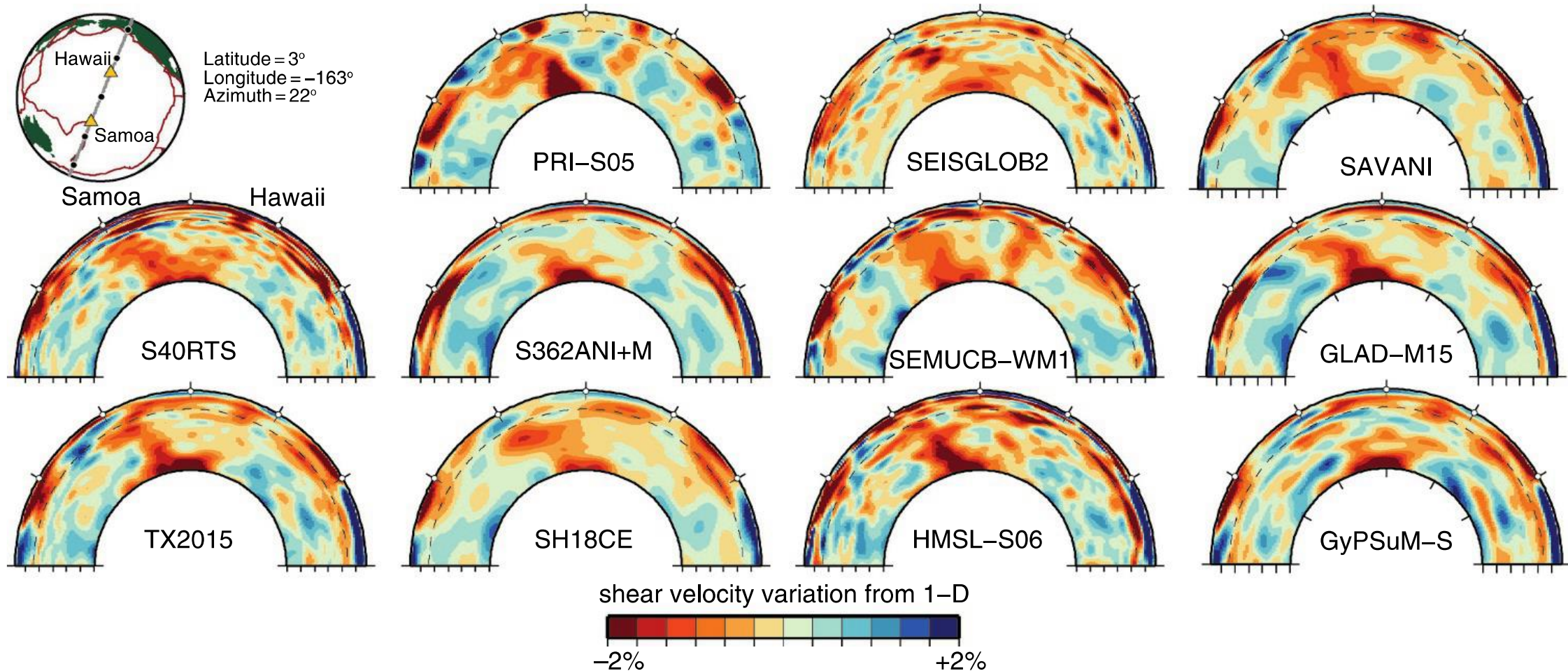
À la recherche des panaches mantelliques



À la recherche des panaches mantelliques

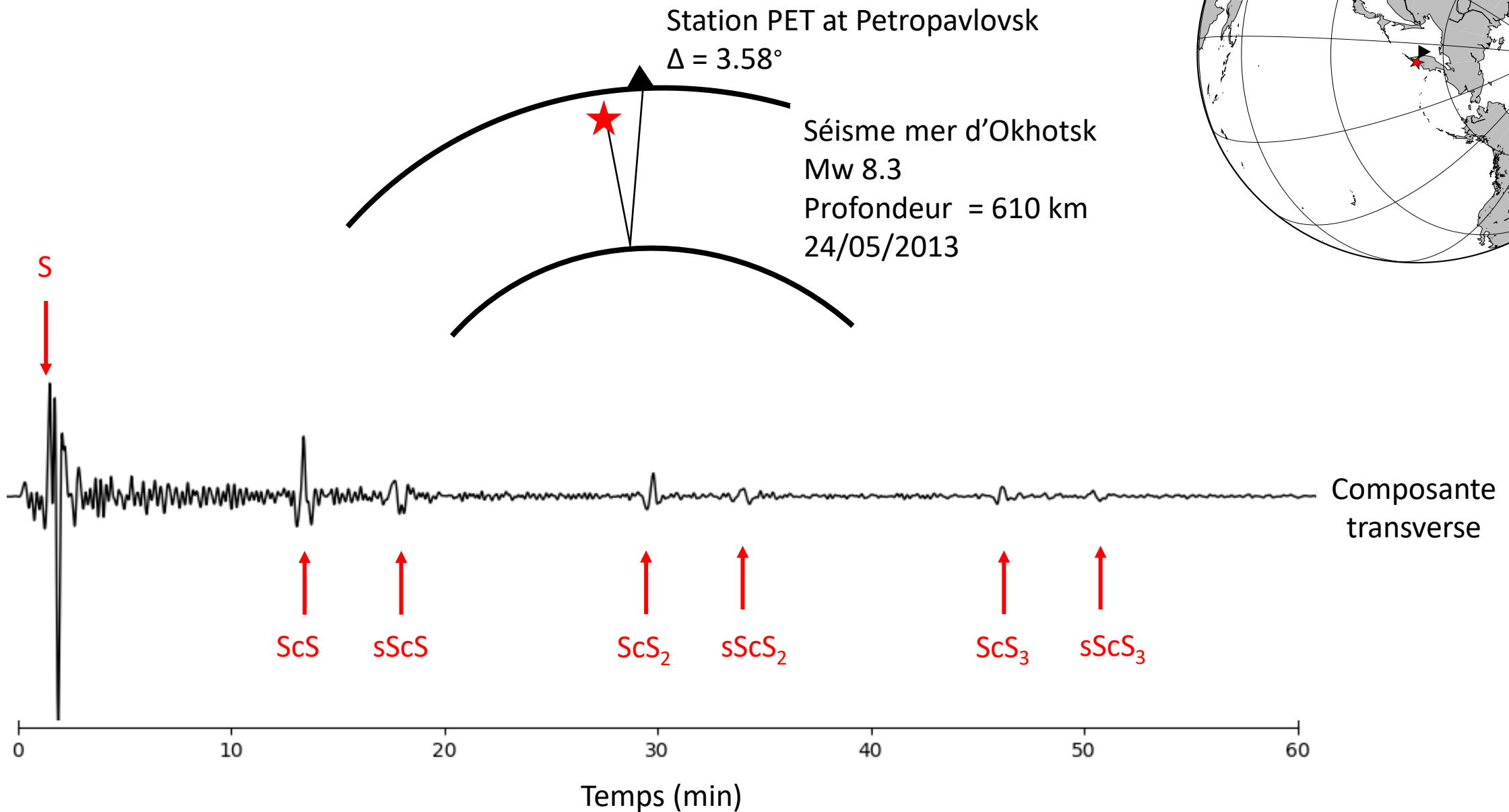


À la recherche des panaches mantelliques



Ritsema et al. [2021]

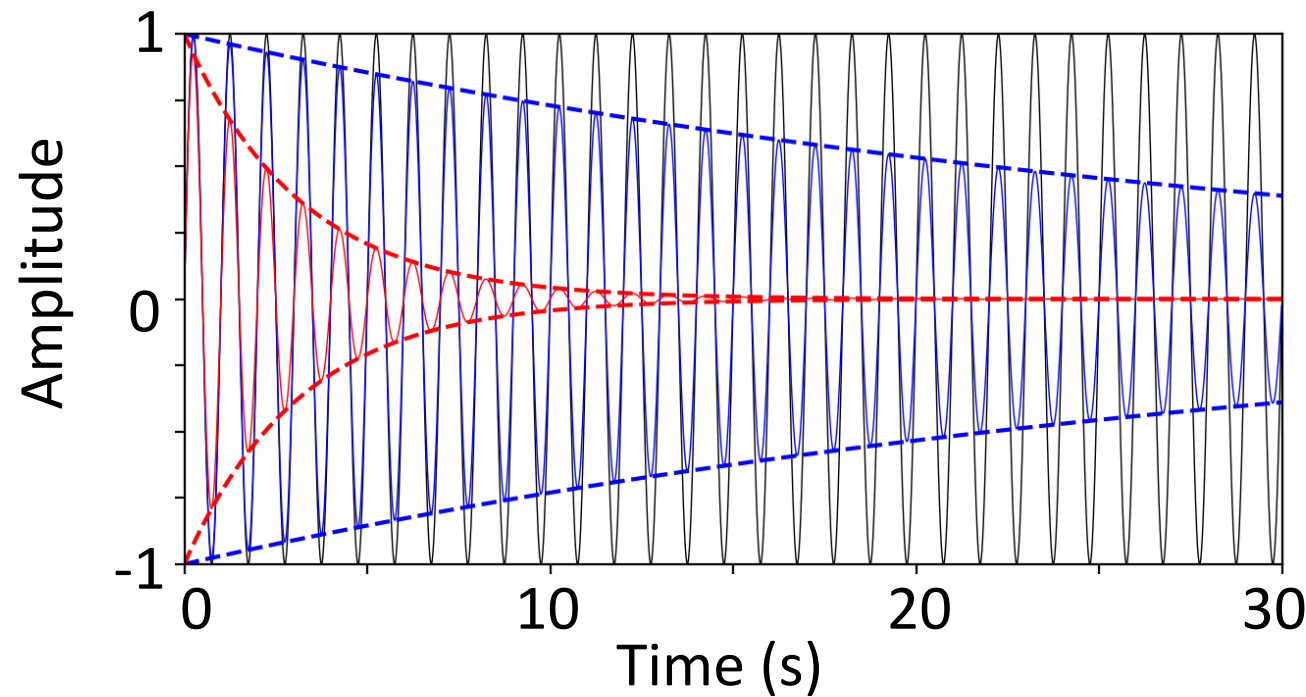
Atténuation sismique Q^{-1}



Atténuation sismique Q^{-1}

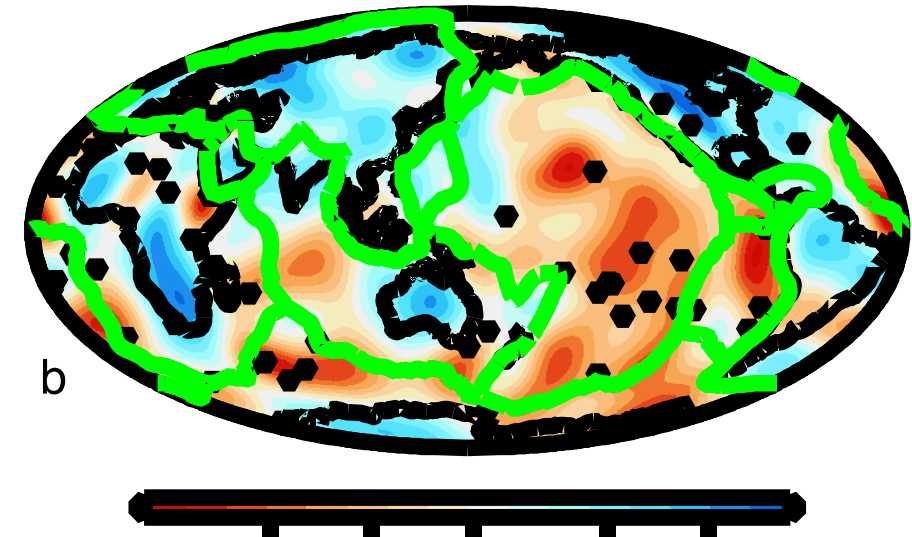
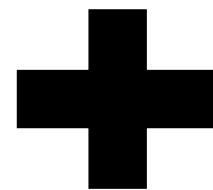
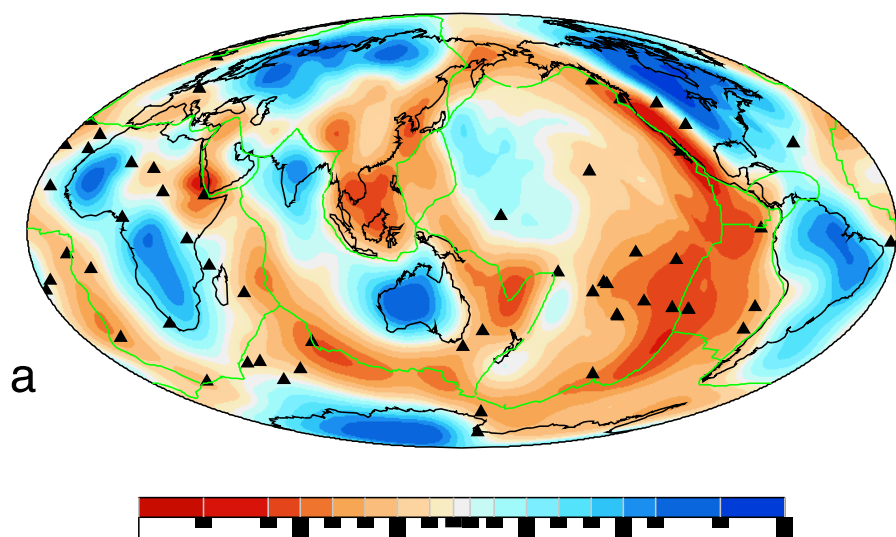
Facteur de qualité

$$Q_K(\omega) \gg Q_\mu(\omega)$$



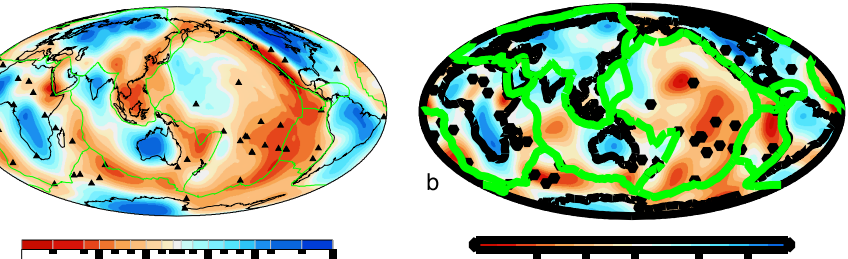
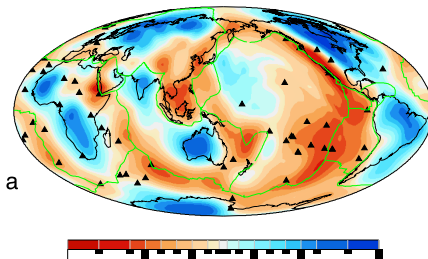
$Q = 10 \sim \Delta E/E = 66\%$
 $Q = 100 \sim \Delta E/E = 6\%$
 $Q = \infty$

Modèles globaux de vitesse et atténuation



Avec l'atténuation on a une information
supplémentaire

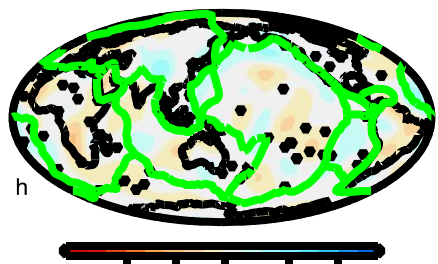
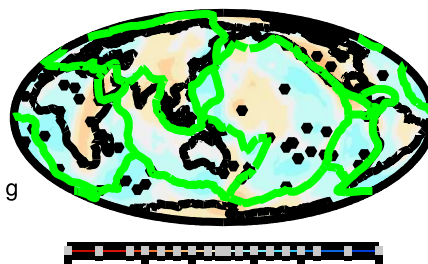
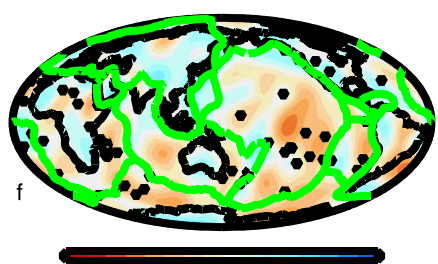
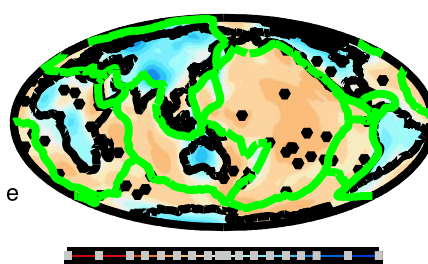
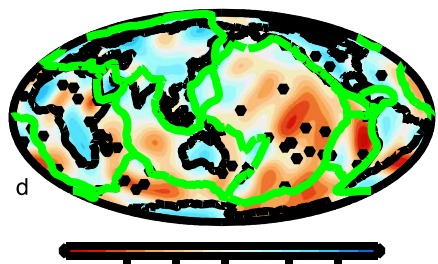
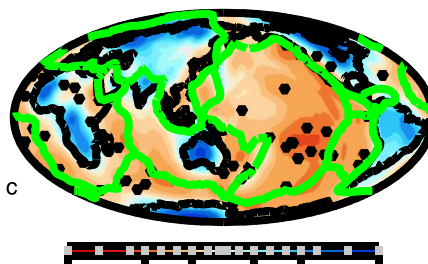
V_s model –DR2020s
(Debayle et al., 2020)



$$V_s = f(T, \chi, \text{fusion, eau...})$$

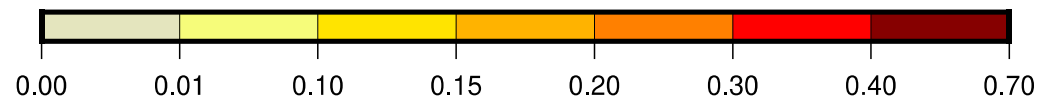
$$Q_s = g(T, \chi, \text{fusion, eau...})$$

Opportunité de discriminer les effets



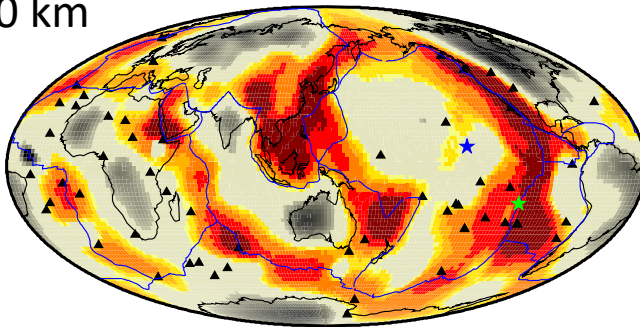
Du manteau fondu à la base du la lithosphère

Melt fraction (%)

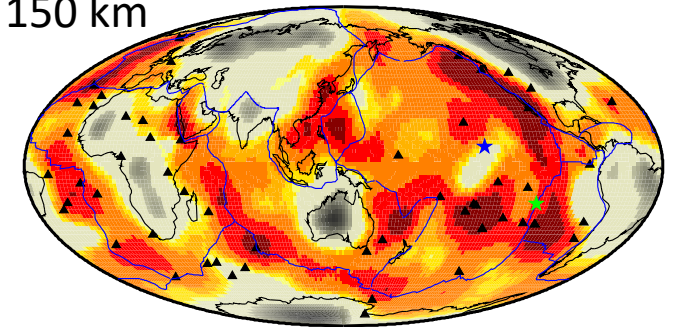


Misfit (%)

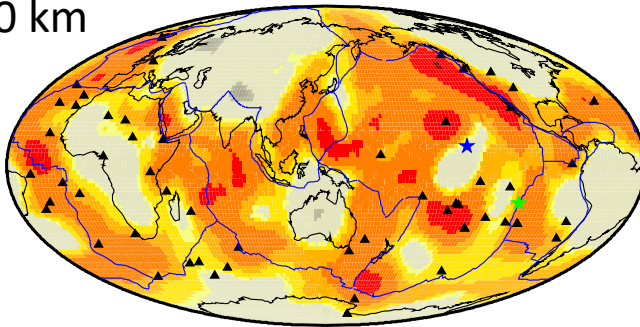
100 km



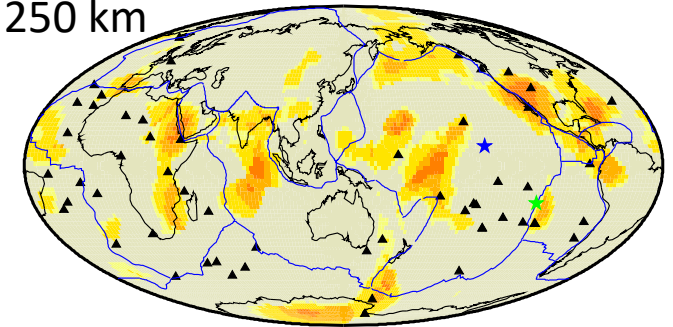
150 km



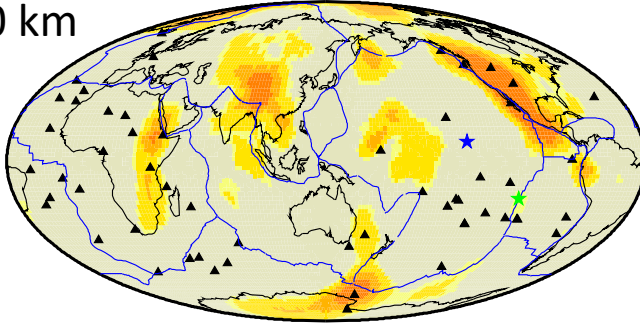
200 km



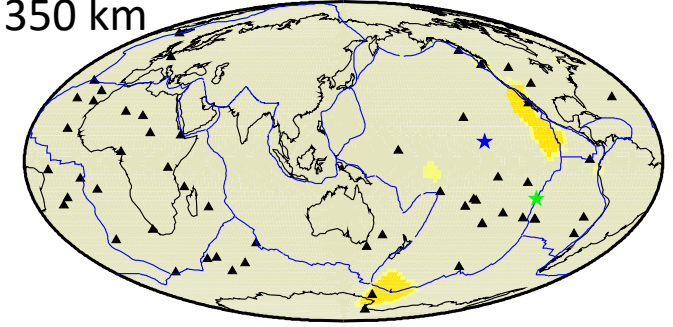
250 km



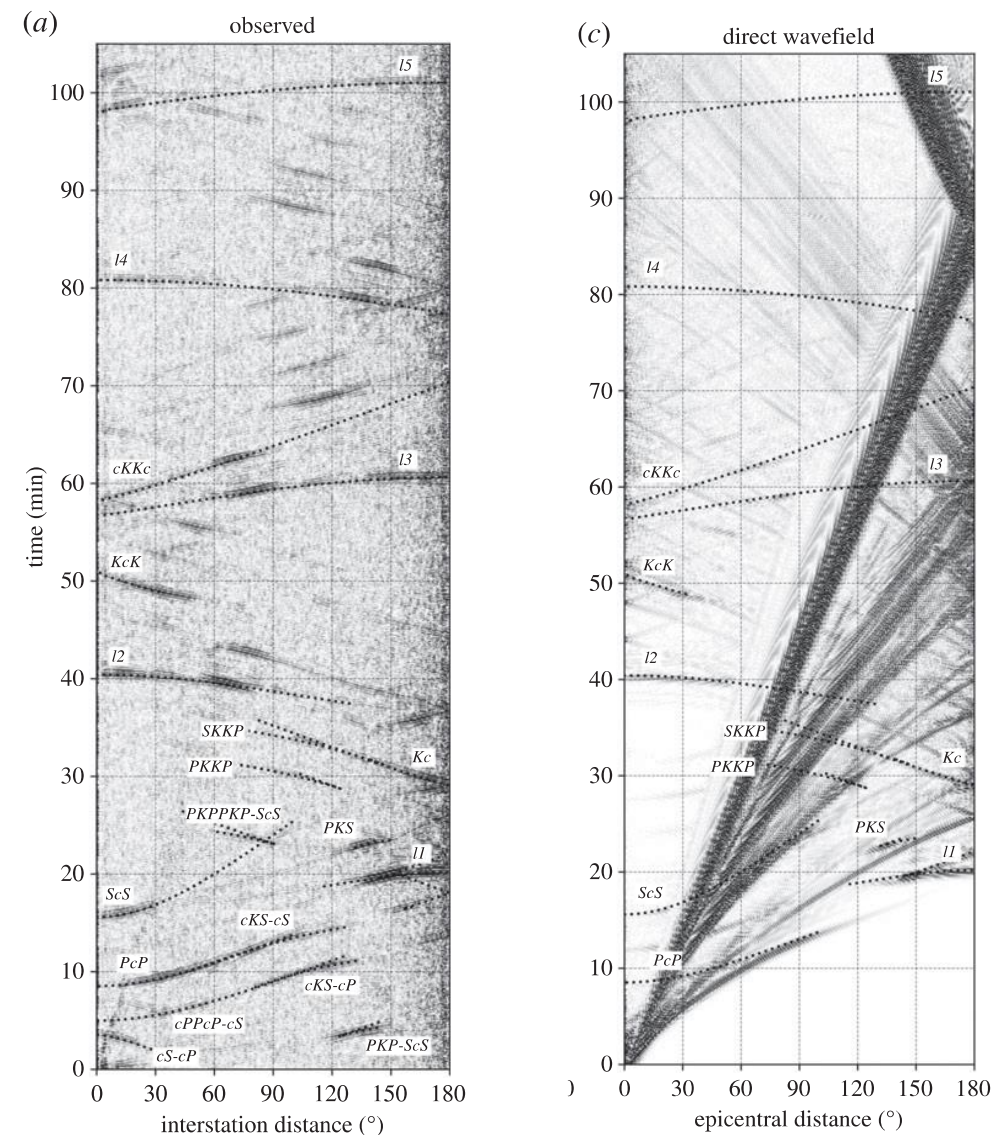
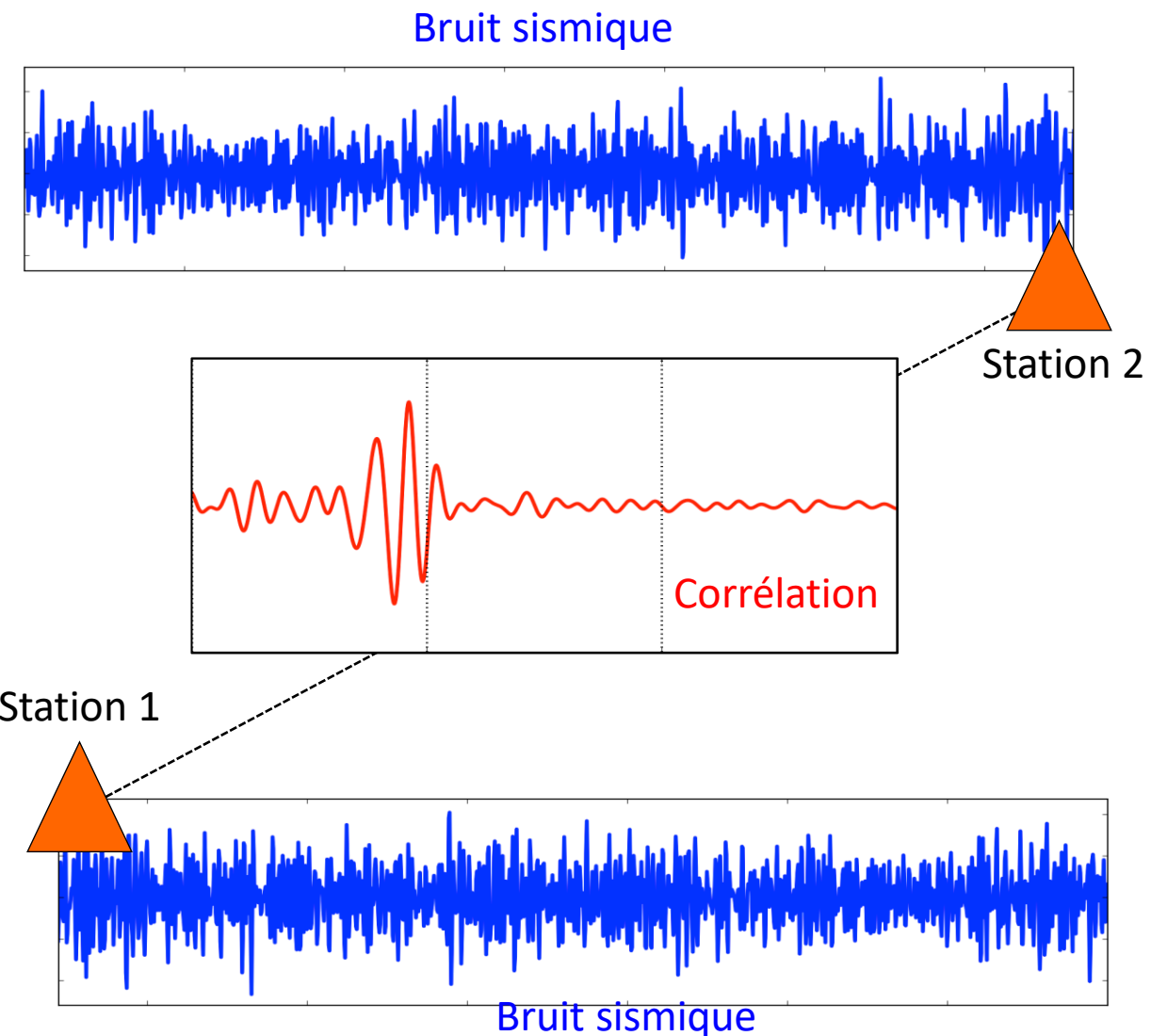
300 km



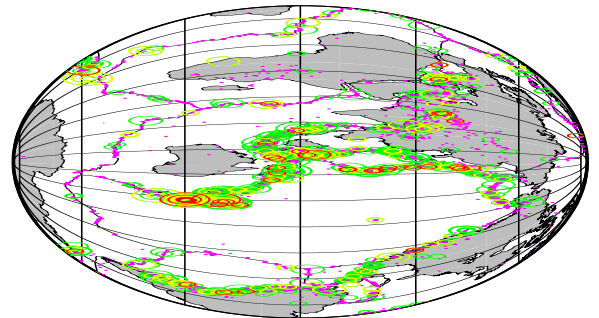
350 km



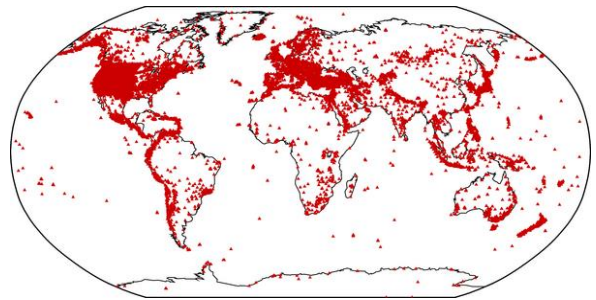
De la sismologie sans séisme



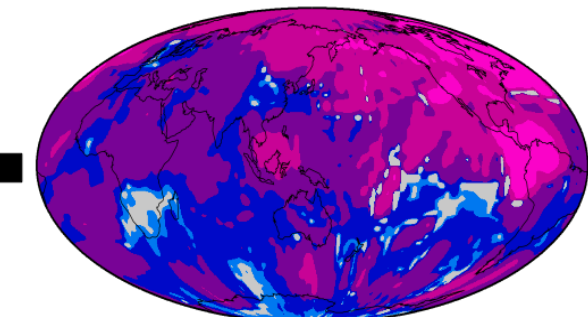
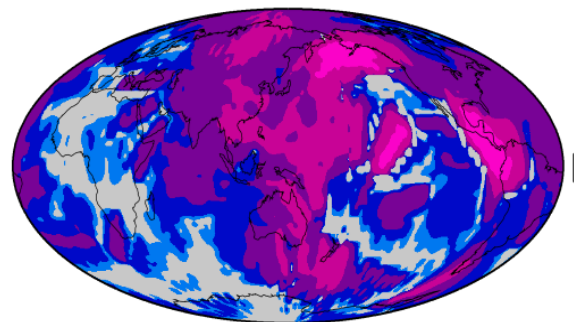
De la sismologie sans séisme



Earthquakes



Seismic noise

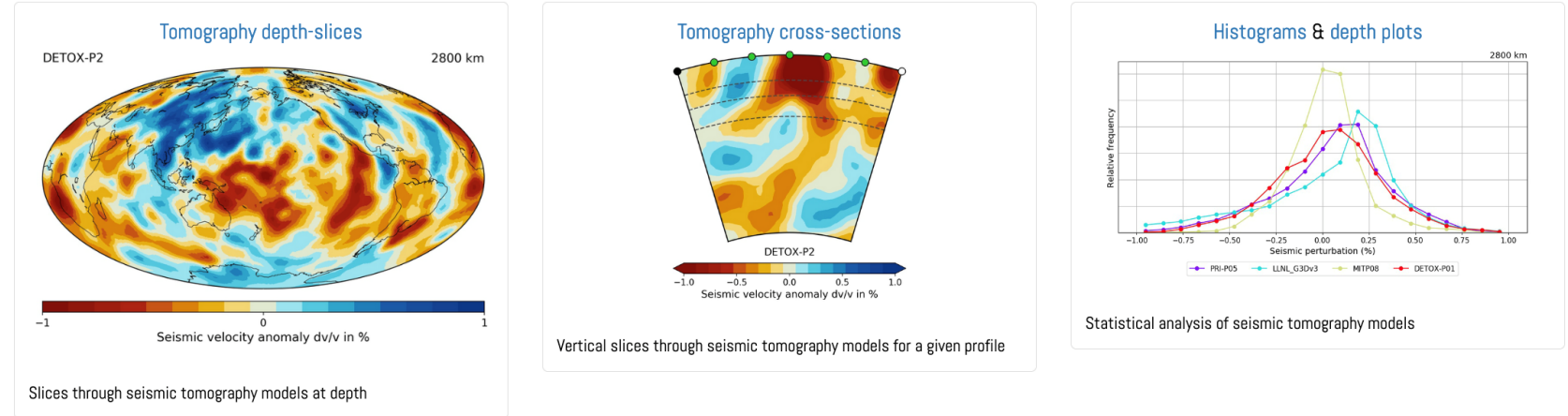


Ray density

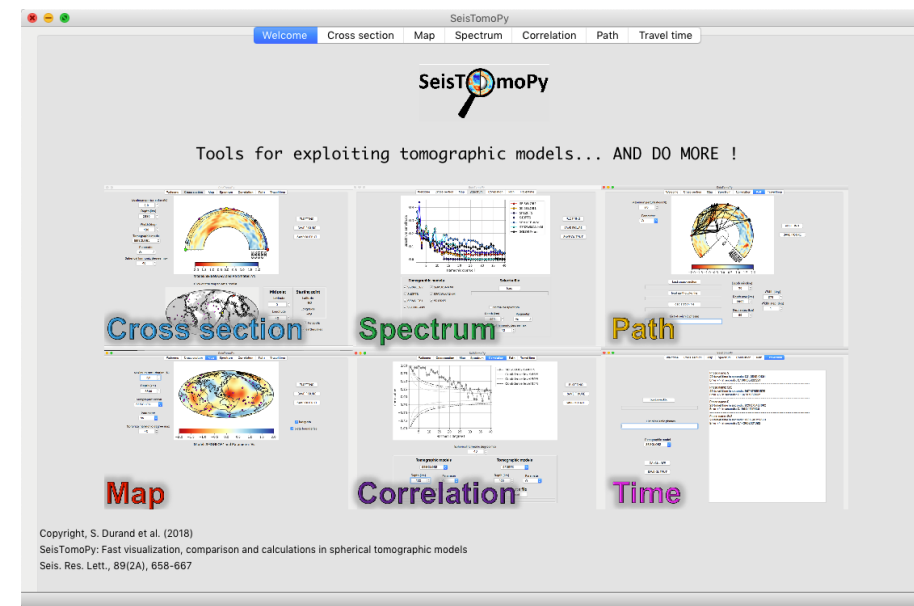




SubMachine



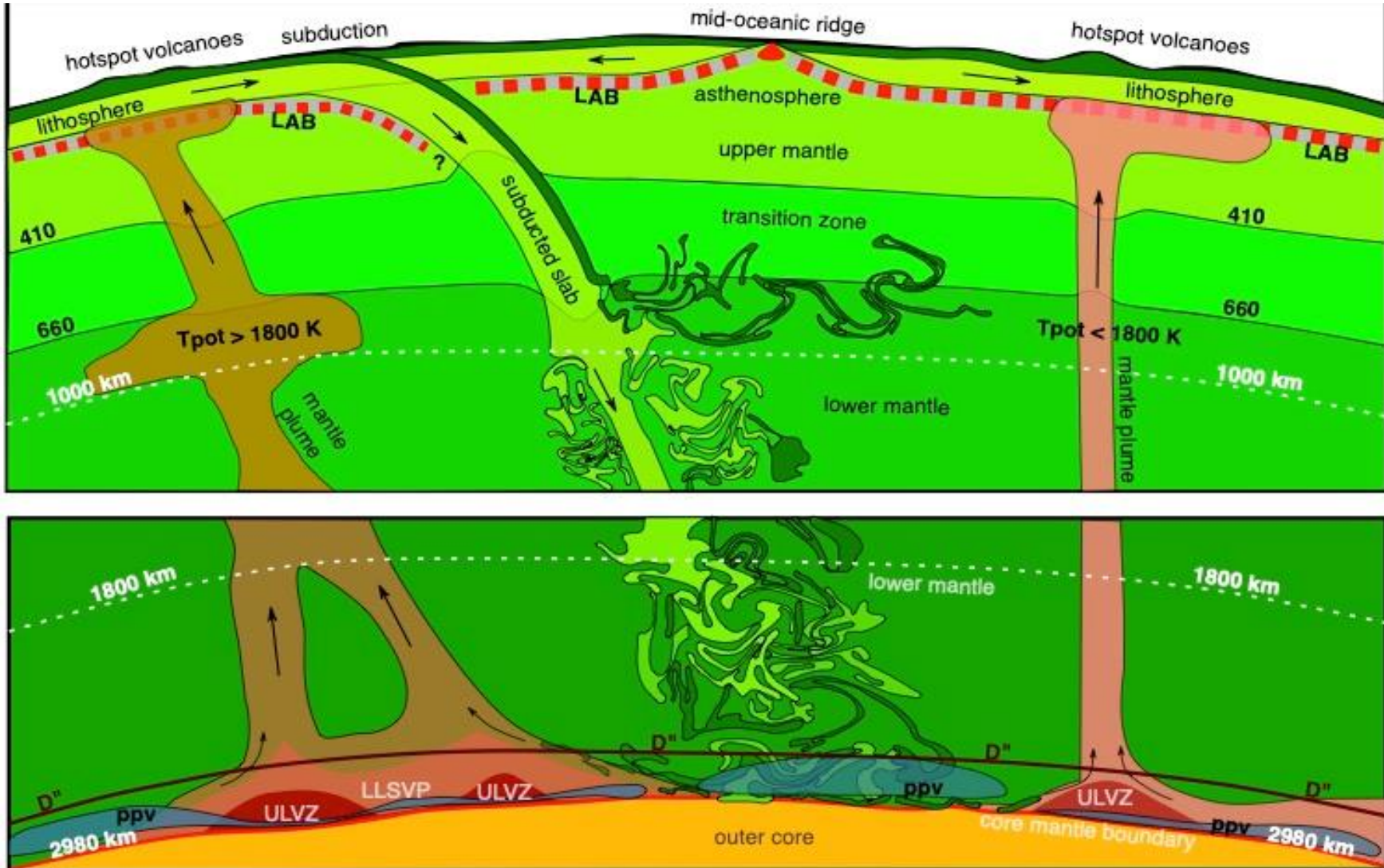
<https://www.earth.ox.ac.uk/~smachine/cgi/index.php>



https://github.com/stephaniedurand/SeisTomoPy_V3

[https://www.iris.edu/hq/inclass/search?type\[\]=%7&language\[\]=%1](https://www.iris.edu/hq/inclass/search?type[]=%7&language[]=%1)

IRIS



S. Durand & B. Tauzin